

BACHELOR THESIS
Rene Herthel

Evaluation der Eigenschaften von SRAM PUF in einem Testbed unter Verwendung von RIOT mit Low Power Modes

FAKULTÄT TECHNIK UND INFORMATIK
Department Informatik

Faculty of Engineering and Computer Science
Department Computer Science

Rene Herthel

Evaluation der Eigenschaften von SRAM PUF in einem Testbed unter Verwendung von RIOT mit Low Power Modes

Bachelorarbeit eingereicht im Rahmen der Bachelorprüfung
im Studiengang *Bachelor of Science Technische Informatik*
am Department Informatik
der Fakultät Technik und Informatik
der Hochschule für Angewandte Wissenschaften Hamburg

Betreuender Prüfer: Prof. Dr. Thomas Schmidt
Zweitgutachter: Prof. Dr. Franz Korf

Eingereicht am: 07.10.2022

Rene Herthel

Thema der Arbeit

Evaluation der Eigenschaften von SRAM PUF in einem Testbed unter Verwendung von RIOT mit Low Power Modes

Stichworte

IoT, RIOT, PUF, SRAM, Stromsparmodus, Zufallszahlengenerator

Kurzzusammenfassung

Static Random Access Memory (SRAM) Physically Unclonable Functions (PUF) leiten unvorhersehbare Informationen aus SRAM-Zellen ab. Diese können für kryptografische Zwecke oder als Seed verwendet werden. In dieser Arbeit wird die Eignung von SRAM basierten PUF unter der Verwendung von Low-Power-Modes im Betriebssystem RIOT untersucht. Dafür werden die PUF-Eigenschaften Zuverlässigkeit und Einzigartigkeit evaluiert.

Rene Herthel

Title of Thesis

Evaluation of SRAM PUF properties in a testbed using RIOT with low power modes

Keywords

IoT, RIOT, PUF, SRAM, Low-Power-Mode, Random-Number-Generator

Abstract

Static Random Access Memory (SRAM) Physically Unclonable Functions (PUF) derive unpredictable information from SRAM cells. These can be used for cryptographic or seed purposes. In this work, the suitability of SRAM-based PUFs is investigated using low-power modes in the RIOT operating system. For this purpose, the PUF properties reliability and uniqueness are evaluated.

Inhaltsverzeichnis

Abbildungsverzeichnis	vi
Listings	viii
1 Einleitung	1
1.1 Related Work	2
1.2 Organisation	3
2 Übersicht zum Internet of Things und RIOT-OS	4
2.1 Internet of Things	4
2.2 Betriebssystem RIOT	5
3 Static Random Access Memory	10
4 Physical Unclonable Functions	12
4.1 SRAM basierte PUF	13
4.1.1 SRAM als Entropiequelle	13
4.1.2 Auslesen der Startwerte	14
4.2 Die Eigenschaften Einzigartigkeit und Zuverlässigkeit	15
4.3 Anwendungsbeispiele	16
4.3.1 Echte- und Pseudozufallszahlengeneratoren	17
4.3.2 Zufallszahlengeneratoren für allgemeine und kryptografische Zwecke	17
4.3.3 Identifikation und Authentifizierung	20
4.4 Fuzzy-Extraktor	21
4.4.1 Enrollment	21
4.4.2 Rekonstruktion	22
5 Der PUF Seed Generator in RIOT	24

6	Experimente mit der IoT-Testplattform FIT IoT-LAB	26
6.1	Die Testplattform FIT IoT-LAB	26
6.2	Das IoT-LAB-M3 Entwicklungsboard	27
6.3	Ausmessen von SRAM-Startwerten mit aktiviertem Low-Power-Mode	29
6.4	Erzeugen von Identitäten mit aktiviertem Low-Power-Mode	31
7	Evaluation von SRAM PUF mit Low-Power-Modes	33
7.1	Die Hamming-Distanz und das Hamming-Gewicht	33
7.2	Berechnung der Metriken in Python	34
7.3	Bias-Test mit dem Hamming-Gewicht	35
7.4	Intra-Chip Test mit der Hamming-Distanz	36
7.5	Inter-Chip Test mit der Hamming-Distanz	37
7.6	Inter-Chip Test mit erzeugten IDs von 194 Testgeräten	38
8	Zusammenfassung und Ausblick	40
8.1	Zusammenfassung	40
8.2	Ausblick	41
	Literaturverzeichnis	42
A	Anhang	46
A.1	Ergebnisse des Bias-Test mit erzeugten Startmustern von 355 Testgeräten	46
A.2	Ergebnisse des Intra-Chip Test mit erzeugten Startmustern von 355 Testgeräten	54
A.3	Ergebnisse des Inter-Chip Test mit erzeugten Startmustern von 355 Testgeräten	63
A.4	Ergebnisse des Inter-Chip Test mit erzeugten IDs von 194 Testgeräten	71
	Selbstständigkeitserklärung	77

Abbildungsverzeichnis

2.1	Die Definition des IoT in seiner einfachsten Form [22]	5
2.2	Die Softwareebenen und Module von RIOT [2]	7
2.3	Übersicht des Bootvorgangs in RIOT [23]	9
3.1	Eine Anordnung von SRAM-Zellen die aus zwei kreuzgekoppelten Invertern bestehen. Die Struktur einer 6T-SRAM-Zelle im Detail und die Schwellspannung V_{th} der zugehörigen Transistoren [24]	11
4.1	Ein 64-Bit-Fingerabdruck in der jede Zelle die Wahrscheinlichkeit P hat den Zustand 1 anzunehmen [25]	14
4.2	Ablauf der Enrollment-Phase [18]	22
4.3	Ablauf der Rekonstruktions-Phase [18]	22
5.1	PUF random seeder in RIOT [15]	24
6.1	IoT-LAB M3 mit verschiedenen verbauten Sensoren und einer STM32 MCU [6]	28
6.2	IoT-LAB M3 mit einem NOR-Flashspeicher [6]	28
6.3	Architektur des IoT-LAB-M3 Boards [6]	29
6.4	Ablaufdiagramm für das Ausmessen von SRAM-Startwerten mit LPM . .	30
6.5	Ablaufdiagramm der Testfirmware	32
7.1	Histogramm des Intra-Chip Experiments des Hamming-Gewichts von 355 Testgeräten mit je 100 SRAM-Startmuster.	35
7.2	Histogramm des Intra-Chip Experiments des Hamming-Gewichts von 355 Testgeräten mit je 100 SRAM-Startmuster.	36
7.3	Histogramm des Inter-Chip Experiments der Hamming-Distanz mit 355 Testgeräten mit je 100 Startmustern	38

7.4	Histogramm des Inter-Chip Experiments der Hamming-Distanz mit 195 Testgeräten mit je 100 IDs	39
-----	---	----

Listings

7.1	Berechnung der Hamming-Distanz in Python	34
7.2	Berechnung des Hamming-Gewichts in Python	35
A.1	Datensatz mit 355 Testgeräten, jeweils 100 erzeugte Startmuster und das dazu berechnete Hamming-Gewicht.	46
A.2	Datensatz mit 355 Testgeräten, jeweils 100 erzeugte Startmuster und die dazu berechnete Hamming-Distanz.	54
A.3	Datensatz mit 355 Testgeräten, jeweils 100 erzeugte Startmuster und der Hamming-Distanz zwischen einem PUF-A und den anderen PUFs.	63
A.4	Datensatz mit 194 Testgeräten, jeweils 100 erzeugte IDs und der Hamming-Distanz zwischen einem Testgerät A und den anderen Testgeräten.	71

1 Einleitung

Die Anzahl der Geräte, die an einem IP-Netzwerk angeschlossen sind, wird bis 2023 mehr als dreimal so hoch sein wie die Weltbevölkerung. Es soll durchschnittlich 3,6 vernetzte Geräte pro Kopf geben, gegenüber 2,4 vernetzten Geräten pro Kopf im Jahr 2018 [3]. Bis 2025 wird erwartet, dass es mehr als 30 Milliarden Geräte im Internet of Things (IoT) geben wird, also durchschnittlich fast 4 IoT-Geräte pro Person [13]. Diese Geräte sind häufig als eingebettete Systeme im IoT überall im Alltag wiederzufinden. Dadurch verlassen sich auch immer mehr Menschen auf Integrierte Schaltungen (IC), um sensible Aufgaben durchzuführen. So wird zum Beispiel ein RFID-Chip häufig als Schlüsselkarte für die Zugangskontrolle zu Gebäuden verwendet oder Mobiltelefone beinhalten sensible Daten, wie vertrauliche Dokumente oder persönliche E-Mails. Für ICs ist es deshalb sehr wichtig Sicherheitsoperationen ausführen zu können. Dazu gehört das Authentifizieren eines Gerätes, das Schützen von vertraulichen Informationen und das Gewährleisten von sicherer Kommunikation in einem kostengünstigen hoch-sicheren Weg. Dafür benötigen die ICs für gewöhnlich teure Sicherheitshardware die aus Platz- und Kostengründen im IoT häufig nicht verfügbar sind. Für Sicherheitsoperationen wird ein unvorhersehbares Geheimnis benötigt, das in jedem IC physisch vorhanden ist. Auf dieses Geheimnis kann nicht zugegriffen werden und es ist nicht duplizierbar [27].

In der aktuell besten Vorgehensweise wird ein geheimer Schlüssel in nicht-flüchtige Speicher abgelegt, wie beispielsweise EEPROM. Um vertrauliche Informationen zu schützen, wird ein Gerät mit kryptografischen Operationen authentifiziert. Zu kryptografischen Operationen zählen beispielsweise digitale Signaturen und Verschlüsselungen. Bei dieser Vorgehensweise ist das Verwalten von Geheimnissen im Speicher mit Mehraufwand und Kosten verbunden. Nicht-flüchtige Speichertechnologien sind anfällig für invasive Attacken, weil Geheimnisse immer in digitaler Form verwaltet werden müssen. Auch Batterie gestützte RAM-Speicher können ausgelesen werden, selbst wenn der Schlüssel über einen längeren Zeitraum gespeichert wurde. Um ein hohes Maß an physischer Sicherheit zu erreichen, muss der IC durch eine teure Schaltung zur Erkennung von Manipulationen geschützt werden. Diese muss ständig batteriebetrieben sein [27].

Für dieses Problem stellen Physical Unclonable Functions (PUF) eine innovative Lösung dar. Diese können Geheimnisse aus komplexen physikalischen Eigenschaften einer Integrierten Schaltung (IC) ableiten. So kann beispielsweise ein flüchtiges Geheimnis aus den zufälligen Verzögerungseigenschaften von Schaltkreisen und Transistoren generiert werden. Da eine PUF die zufälligen Schwankungen während eines IC-Fertigungsprozesses ausnutzt, ist das Geheimnis schwer vorherzusagen oder zu extrahieren [27]. Für das Ableiten von Geheimnissen hat sich der SRAM-Speicher als praktikable Entropiequelle herausgestellt. SRAM-Speicher sind auf vielen Plattformen vorhanden [15].

Um ein zuvor abgeleitetes Geheimnis einer PUF rekonstruieren zu können, wird häufig ein sogenannter Fuzzy-Extraktor eingesetzt. Mit diesen lassen sich vom Rauschen beeinflusste neue PUF-Messungen mit Hilfsdaten korrigieren und zuvor erzeugte Geheimnisse rekonstruieren [18]. In dem Kontext vertrauenswürdiger Firmware-Updates von IoT-Geräten werden die Hilfsdaten eines IoT-Gerätes typischerweise auf einem Server berechnet. Dazu wird vom Server bei der Bereitstellung eines IoT-Gerätes zuerst die PUF-Antwort ausgemessen, um mit dieser die Hilfsdaten zu erzeugen. Die Hilfsdaten werden danach auf einen nicht-flüchtigen Speicher des IoT-Gerätes übertragen [21].

In dieser Arbeit wird die Eignung von SRAM-basierten PUFs unter Verwendung von Low-Power-Modes im Betriebssystem RIOT evaluiert. Dafür werden die PUF-Eigenschaften Zuverlässigkeit und Einzigartigkeit unterschiedlicher IoT-Geräte analysiert und evaluiert.

1.1 Related Work

Im Jahr 2001 wurde von Pappu [19] das Konzept von Physical Unclonable Function unter dem Namen Physical One-Way Function vorgestellt. Bei dieser Technologie wird eine Antwort erhalten, wenn eine mit Luftbläschen gefüllte Epoxid-Scheibe mit einem Laser getroffen wird. Aus dieser Messung wird ein Streubild abgeleitet. Im Jahr 2002 wurde von Gassend et al. [7] dieses Prinzip in Silicon Physical Random Functions weiterentwickelt. Diese Funktionen nutzen die Variationen im Herstellungsprozess eines ICs, um diese einzigartig charakterisieren zu können. Für diesen Zweck wird die Frequenz von Ring-Oszillatoren gemessen. Mit dieser Methode, auch bekannt als Ring-Oszillator-PUF, können ICs charakterisiert werden. Im Jahr 2004 wurde von Lee et al. [17] mit der Arbiter PUF ein weiteres Konzept vorgestellt, welches auf verzögerten Signallaufzeiten basiert. ICs können sowohl mit den PUFs charakterisiert werden, die Verzögerungen

messen, als auch mit den speicherbasierten PUFs. Speicherbasierte PUFs basieren auf der Messung der Einschaltzustände von Speicherzellen. Sie inkludieren SRAM PUF, welche von Guajardo et al. [9] 2007 vorgestellt wurden [25]. Der Aufbau von Static Random Access Memory (SRAM) und die Funktionsweise einzelner SRAM-Zellen werden hier beschrieben: [24].

PUFs benötigen geeignete Entropiequellen für Anwendungen wie das Erzeugen von Seeds für Zufallszahlengeneratoren (PRNG). Dies, sowie die Generierung von Zufall im Internet of Things und die Verwendung von SRAM als Entropiequelle bis zur IoT-Anwendung werden hier beschrieben: [16].

1.2 Organisation

Die Arbeit hat die folgende Struktur. Kapitel 2 ab Seite 4 bietet eine Übersicht zum Internet of Things und das Betriebssystem RIOT. Kapitel 3 ab Seite 10 erläutert den Aufbau eines SRAMs und die Nutzung von SRAM als Entropiequelle. Kapitel 4 ab Seite 12 beinhaltet die Grundlagen zu den PUFs. Hier werden insbesondere SRAM basierte PUF, PUF-Eigenschaften, Anwendungsbeispiele und der Fuzzy-Extraktor vorgestellt. In Kapitel 5 ab Seite 24 wird der PUF Seed Generator in RIOT vorgestellt. Kapitel 6 ab Seite 26 beschreibt die durchgeführten Experimente auf der IoT-Testplattform FIT IoT-LAB. In Kapitel 7 ab Seite 33 wird die Evaluation von SRAM PUF mit Low-Power-Modes vorgestellt. Kapitel 8 ab Seite 40 hält eine Zusammenfassung und einen Ausblick bereit.

2 Übersicht zum Internet of Things und RIOT-OS

Die erste Sektion in diesem Kapitel gibt eine Definition und einen Überblick über das Internet of Things. Es beschreibt die Hauptmerkmale des Internet of Things und welche Dinge in diesem miteinander verbunden sind. Die zweite Sektion stellt das Betriebssystem RIOT im Allgemeinen vor und den modularen Aufbau der Softwarearchitektur sowie verwendete Module und den Ablauf des Bootvorgangs.

2.1 Internet of Things

Das Internet of Things (IoT) kann in seiner einfachsten Form als ein Netzwerk von physischen Elementen betrachtet werden, das durch folgende Merkmale befähigt wird:

- **Sensoren** zum Sammeln von Informationen
- **Identifikatoren** zur Identifizierung der Datenquelle
- **Software** zur Analyse der Daten
- **Internetkonnektivität** zur Kommunikation und Benachrichtigung

Das IoT ist also das Netzwerk der Dinge mit eindeutiger Elementidentifikation, eingebettet in Software, mit Sensoren und allgegenwärtiger Konnektivität mit dem Internet. Durch das IoT wird es Dingen oder Objekten ermöglicht über die Telekommunikationsinfrastruktur des Internets Informationen mit dem Hersteller, dem Betreiber oder anderen angeschlossenen Geräten auszutauschen. Es ermöglicht die Erfassung physischer Objekte (zur Bereitstellung spezifischer Informationen) und die Fernsteuerung über das Internet. Dadurch werden Möglichkeiten für eine direktere Integration zwischen der physischen Welt und computergestützten Systemen geschaffen. Dies führt zu einer höheren

Effizienz, verbesserter Genauigkeit und einem wirtschaftlichen Nutzen. Jedes Ding ist durch sein eingebettetes Computersystem eindeutig identifizierbar und kann mit der bestehenden Internetinfrastruktur interagieren. Das IoT in seiner einfachsten Form kann als Schnittpunkt von Internet, Dingen und Daten betrachtet werden, wie in Abbildung 2.1 dargestellt [22].

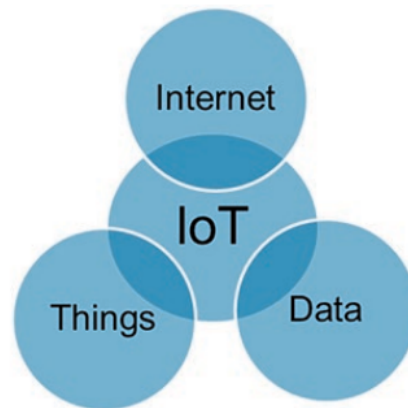


Abbildung 2.1: Die Definition des IoT in seiner einfachsten Form [22]

Das Hauptmerkmal des IoT ist die physische Verbindung von allem und jedem, wie zum Beispiel Sensoren, Geräten, Maschinen, Menschen, Tieren und Bäumen. Des Weiteren werden Prozesse über das Internet zur Überwachung oder Steuerung miteinander verbunden. Die Verbindungen beschränken sich nicht auf Informationsseiten, sondern sind tatsächliche und physische Verbindungen. Diese ermöglichen es den Benutzern sogenannte Dinge zu erreichen und bei Bedarf die Kontrolle zu übernehmen. Das Ziel ist das Sammeln von Informationen aus diesen Objekten, um Produkte und Dienstleistungen zu verbessern [22].

2.2 Betriebssystem RIOT

RIOT ist ein Betriebssystem, welches nach den Bedürfnissen des IoT entworfen wurde. Der Quellcode ist Open-Source und wird auf GitHub ¹ unter einer LGPLv2.1 [8] bereitgestellt. Die Lizenz erlaubt es, RIOT mit proprietärer Software zu verknüpfen und stellt sicher, dass RIOT von den Endnutzern modifiziert werden kann. Dabei wird das Betriebssystem von einer weltweiten Gemeinschaft von Entwicklern weiterentwickelt [2].

¹<https://github.com/RIOT-OS/>, abgerufen am 01-10-2022

RIOT ist gegenüber Low-End Geräten besonders ressourcenschonend, was unter anderem die Entwicklung gängiger 8-Bit, 16-Bit und 32-Bit Architekturen erleichtert. Bei Netzwerkstandards liegt der Fokus auf offenen, standardisierten Netzwerkprotokollen, wie die IETF Protokolle. Weiterhin wird ein eigener IP-Stack namens GNRC unterstützt, mit dem sich Geräte im IoT vernetzen lassen. Weitere Merkmale des Betriebssystems sind Echtzeit- und Multithreading-Fähigkeiten, Energie-Effizienz, ein geringer Speicherbedarf sowie eine einheitliche, von der zugrunde liegenden Hardware unabhängige Programmierschnittstelle (API) [2].

Eine der Entwurfsprinzipien von RIOT ist die modulare Softwarearchitektur, die um einen minimalistischen Kernel herum aufgebaut ist. Somit ist RIOT in Software-Modulen strukturiert, die erst zur Kompilierzeit konfiguriert und verwendet werden. Die Module sind abgekapselt vom Kern des Betriebssystems und bieten minimalistische Funktionalitäten an. Mit diesem Ansatz wird das System in wohldefinierte Programmcode-Einheiten aufgebaut, wobei nur die für den Anwendungsfall benötigten Module inkludiert werden [2].

Auch die Hardware-Treiber sind in RIOT modular aufgebaut. Mit diesen können CPU-externe Komponenten wie Sensoren, Aktoren, Speicher oder Netzwerkschnittstellen kontrolliert werden. Für Peripheriekomponenten existieren einheitliche APIs, die auf heterogener Hardware aufbauen. Dadurch kann derselbe Programmcode auf unterschiedlicher Hardware ausgeführt werden. Zu den Peripheriekomponenten gehören unter anderem Real-Time-Clocks (RTCs), die eine akkurate Zeitangabe unterstützen. RTCs führen ihre Operationen auch dann aus, wenn die CPU durch das Power-Management des Betriebssystems in einen Energiesparmodus versetzt wurde. Die RTC wird von High-Level Treibern wie beispielsweise dem Timer-Modul XTimer genutzt. XTimer werden der Kategorie der Treiber Applikationen zugeordnet. High-Level Treiber bauen auf den Treiber der Peripheriekomponenten auf, wodurch die Portabilität der Treiber zwischen unterschiedlicher Hardware garantiert wird [2]. Die Softwareebenen und Module von RIOT werden in Abbildung 2.2 dargestellt.

Das Timer-Modul stellt eine wichtige Zuordnung zwischen der physikalischen Zeit, wie sie in der Außenwelt wahrgenommen wird und der von der CPU verwendeten internen Zeitmessung her [2]. Ein Timer-Modul ist beispielsweise die Real-Time-Clock, welche häufig in Mikrocontrollern implementiert wird. Mithilfe dieser Echtzeituhr können zum Beispiel Zeit- und Datumsfunktionalitäten dargestellt werden. Zudem kann das Modul zur Generierung von zyklischen Interrupts oder Alarmfunktionen verwendet werden. Damit

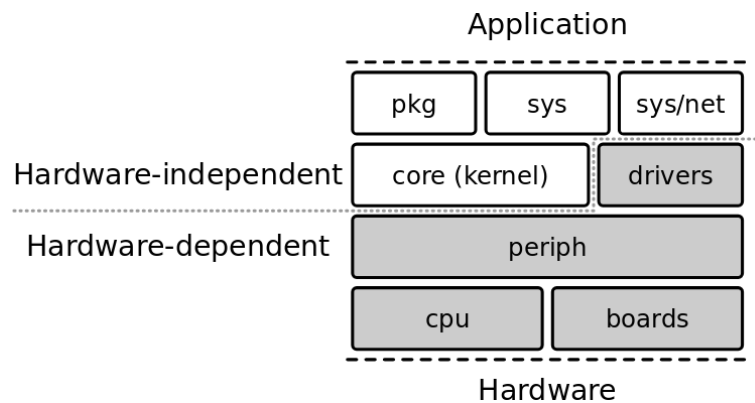


Abbildung 2.2: Die Softwareebenen und Module von RIOT [2]

die Echtzeitfunktionalität in allen Betriebsmodi, gewährleistet ist, wird das RTC-Modul, wenn es verwendet wird, nicht abgeschaltet. Es läuft in der Regel auf einer dedizierten Taktquelle weiter [12].

Das Timer-Modul in RIOT wird XTimer genannt. Hierbei handelt es sich um ein Timer-Subsystem mit einer Abstraktionsschicht auf höherer Softwareebene. XTimer bietet eine einfache API, die auf natürlichen Zeitwerten basiert und eine vollständige Abstraktion von der zugrundeliegenden Timer-Hardware bietet, um unter anderem Threads in den Ruhezustand versetzen zu können. Für die Verbindung mit RTCs nutzt XTimer die Abstraktionsschicht der Peripherie-Treiber. Auf diese Weise ist die Implementierung von XTimer unabhängig von der Hardware, während das Modul noch konfigurierbar ist. Dadurch funktioniert es mit unterschiedlichen Hardware-Umgebungen. Typische von RIOT unterstützte CPUs bieten eine Reihe von gewöhnlichen Timern und optional einen oder mehrere Real-Time-Timer (RTT) oder eine Real-Time-Clock (RTC). Threads können in den Ruhezustand versetzt werden und es können Callback-Funktionen und Event-Timer gesetzt werden, damit ein Mikrocontroller aus einem Low-Power-Modus (LPM) in den normalen Betrieb zurückkehren kann [2].

Viele Mikrocontroller definieren LPM, wie „Idle“, „Standby“ und „Stop“. Diese werden vom Power-Management-Modul in RIOT unterstützt. Das Power-Management-Modul implementiert einen Standardmechanismus, der den niedrigstmöglichen Energiezustand bestimmt. Das Modul wurde für unterschiedliche CPU-Implementierungen entwickelt und verwendet einen einfachen Konsensmechanismus namens Cascade. Cascade basiert auf einer strengen Hierarchie von Stromverbrauchsstufen, die für jede CPU definiert ist. Eine niedrigere Leistungsstufe bedeutet einen geringeren Stromverbrauch. Die Hierar-

chie ist so aufgebaut, dass bei einer Blockierung der Leistungsstufe N implizit auch alle Leistungsstufen $M \leq N$ blockiert werden, so dass die CPU nicht in eine beliebige Leistungsstufe $M \leq N$ wechseln kann. Das Power-Management-Modul definiert den niedrigstmöglichen Energiezustand als den Wert 0. Der höchstmögliche LPM ist abhängig von der Spezifikation des jeweiligen Boards und den unterstützten LPMs [2].

Als weiteres Modul nutzt RIOT das Memory-Technology-Device (MTD). Hier wurde die Schnittstelle nach dem Vorbild der entsprechenden Linux-API entwickelt. Das MTD-Modul bietet eine Abstraktionsschicht für den Zugriff auf Speicher-Bausteine, wie Flash-Speicher [2]. Die vereinheitlichte Schnittstelle vermittelt zwischen den vielfältigen hardware-spezifischen Gerätetreibern und den oberen Schichten eines Systems. Ein Vorteil von MTD ist, dass die Anwender dieser Abstraktionsschicht keine Kenntnisse über Interna der darunterliegenden Schichten besitzen müssen, wie zum Beispiel welches Dateisystem verwendet wird. Des Weiteren kann dieselbe Abstraktionsschicht beim Wechsel des Flash-Speichers wiederverwendet werden [29].

Darüber hinaus bietet RIOT einen Befehlszeileninterpreter (CLI), ähnlich einer Shell in Linux. Der Zugriff auf die CLI erfolgt in der Regel (aus der Ferne) über UART. Sie wurde entwickelt, um das Debugging und die Laufzeitkonfiguration während des Testens oder der Durchführung von Experimenten zu erleichtern. Entwickler können leicht benutzerdefinierte Befehle über dedizierte Befehlshandler hinzufügen [2].

Die Module von RIOT werden während des Bootvorgangs initialisiert. Der Bootvorgang wird in Abbildung 2.3 dargestellt. RIOT bietet alle Elemente für das Bootstrapping von IoT-Hardware vom ersten aufgerufenen Softwarebefehl im Reset-Handler bis zur eigentlichen Hauptfunktion in einem Thread-Kontext. Der Bootvorgang besteht im Wesentlichen aus den folgenden vier Schritten [2]:

1. Initialisierung des Speichers (SRAM)
2. Initialisierung von Board und CPU
3. Initialisierung der verwendeten C-Bibliotheken (optional)
4. Einrichtung und Initialisierung des eigentlichen Betriebssystems

Im ersten Schritt wird der Speicher initialisiert. Hier werden die initialisierten Variablen in den RAM (data Sektion) kopiert und alle uninitialisierten Variablen auf den Wert 0

gesetzt (bss Sektion). Die Board-Initialisierung kümmert sich dann um die Initialisierung boardspezifischer Hardware-Elemente wie On-Board-LEDs. Zu diesem Zeitpunkt wird auch die CPU-Initialisierung ausgelöst, in der unter anderem das Interrupt-System, Taktgeber und gemeinsame Peripherietreiber eingerichtet werden. Als nächstes kümmert sich die C-Bibliotheksinitialisierung um die Abbildung der C-Standard-Bibliothek auf die entsprechenden RIOT-Systemaufrufe. Dies beinhaltet unter anderem Funktionen für dynamische Speicherzuweisung oder STDIO-Zugriffe. Im letzten Schritt wird das Basissystem initialisiert und die Kontrolle an den RIOT-Kernel übergeben. Nach der Einrichtung des Idle- und Main-Threads initialisiert RIOT alle konfigurierten Systemmodule und Gerätetreiber über das AUTO_INIT-Modul. Zum Schluss wird die Hauptfunktion aufgerufen, die den Einstiegspunkt für die eigentliche Benutzeranwendung darstellt [2].

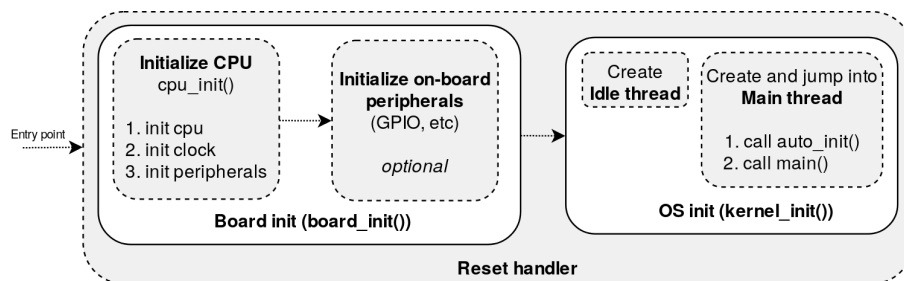


Abbildung 2.3: Übersicht des Bootvorgangs in RIOT [23]

3 Static Random Access Memory

Der Static Random Access Memory (SRAM) ist eine standardmäßig flüchtige Speichertechnologie, die Informationen für die Zeit einer anliegenden Betriebsspannung speichert. SRAM können auf unterschiedliche Weise konstruiert werden. Bei der vorherrschenden Konstruktion werden sechs Transistoren verwendet, um eine einzelne 6-Transistor-SRAM-Zelle (6T-SRAM-Zelle) zu konstruieren. Diese basiert auf der Technologie von Metall-Oxid-Halbleiter (CMOS). Bei diesem Aufbau werden vier Transistoren zur Speicherung eines einzelnen Bits verwendet, während zwei zusätzliche Transistoren den Zugriff auf die SRAM-Zelle zum Lesen oder Schreiben steuern. Die vier Speichertransistoren bilden zwei kreuzgekoppelte Inverter, die sich gegenseitig verstärken und somit eine positive Rückkopplungsschleife bilden. Sobald die Schwellenspannung (V_{th}) erreicht ist, beginnt der jeweilige Transistor zu leiten. Aufgrund von Fertigungsschwankungen gibt es in der Regel eine Diskrepanz zwischen den Schwellenspannungen der beiden kreuzgekoppelten Inverter. Eine schematische Beschreibung einer 6T-SRAM-Zelle findet sich in Abbildung 3.1. [24]. Im Detail betrachtet treiben die Inverter jeweils einen der beiden Zustandsknoten an, die mit A und B gekennzeichnet sind. Wenn der Schaltkreis stromlos ist, sind beide Zustandsknoten entladen und befinden sich in einem metastabilen Zustand ($AB = 00$). Wenn die Stromversorgung wiederhergestellt wird, findet eine Transition zu einem der stabilen Zustände 0 ($AB = 01$) oder 1 ($AB = 10$) statt. Der Zustand ($AB = 11$) ist instabil und für die Transistoren nicht erreichbar [11]. Darüber hinaus weisen Transistoren untereinander trotz gleichem logischem Aufbau unterschiedliche physikalische Eigenschaften auf, die durch Fluktuationen im Herstellungsprozess entstehen. Diese führen zu den messbaren Unterschieden der elektronischen Eigenschaften, wie der Schwellenspannung und sind über dem gesamten SRAM verteilt [25].

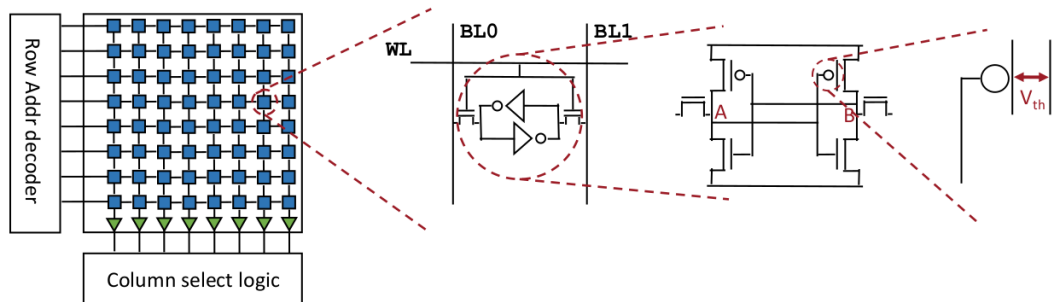


Abbildung 3.1: Eine Anordnung von SRAM-Zellen die aus zwei gekoppelten Invertieren bestehen. Die Struktur einer 6T-SRAM-Zelle im Detail und die Schwellspannung V_{th} der zugehörigen Transistoren [24]

4 Physical Unclonable Functions

Eine Physical Unclonable Function (PUF) kann als eine komplexe physikalische Struktur beschrieben werden. Sie wird durch einen Stimulus c herausgefordert, um eine Antwort r zu erzeugen. Die Antwort r entspricht einer verrauschten PUF-Messung X . Die PUF-Messung X hängt sowohl von der Herausforderung c als auch von der mikroskopischen physikalischen Struktur des zugrunde liegenden Objekts ab, in der eine PUF eingebettet ist. Aufgrund winziger Abweichungen während des Produktionsprozesses ist die Struktur des physischen Objekts, das eine PUF enthält, bei jedem Exemplar einzigartig. Die Unterschiede in der physikalischen Struktur verschiedener PUFs befinden sich auf mikroskopischer Ebene. Vermutlich liegen diese außerhalb des Einflusses der derzeitigen Fertigungstechnologie. Deshalb wird davon ausgegangen, dass PUFs nicht klonbar sind und nicht einmal vom Hersteller reproduziert werden können. Das Challenge-Response-Verhalten des physikalischen Systems ist so komplex, dass die Reaktion auf eine zufällig ausgewählte Challenge nicht vorhergesagt werden kann [24]. Diese Eigenschaft hindert einen Angreifer daran, eine bestehende PUF-Instanz zu duplizieren. Wie bei algorithmischen Einweg-Hash-Funktionen sollte die Abbildung von PUFs in der Vorwärtsrichtung einfach zu berechnen, in der Rückwärtsrichtung aber nicht umkehrbar sein [11]. Da PUFs auf physikalischen Strukturen basieren, benötigen sie keine speziellen Herstellungsverfahren, Programmierungen oder weitere Prüfschritte, um zu funktionieren [27].

Eine PUF ist eine Art von Funktion, die mit physikalischen Eigenschaften eines Objekts verwoben ist. Genau wie herkömmliche mathematische Funktionen bildet eine PUF f_{PUF} Eingabeelemente (Herausforderungen) $\{c_1, c_2, \dots, c_k\}$ eines Challenge-Raums $c_i \in C$ auf Ausgangselemente (Antworten) $\{r_1, r_2, \dots, r_l\}$ eines Antwortraums $r_j \in R$ ab [24]:

$$f_{PUF} : C^k \rightarrow R^l.$$

Darüber hinaus wurde eine vereinfachte Notation vorgestellt [24]:

$$r \leftarrow PUF(c) \text{ or } PUF(c) = r.$$

4.1 SRAM basierte PUF

SRAM PUF basieren auf der Beobachtung, dass der Einschaltzustand von SRAM-Zellen einen physikalischen Fingerabdruck offenbart. Eine SRAM-Zelle ist der erforderliche Schaltkreis für die Speicherung und den Zugriff auf einem Bit. Daher ist die SRAM-Zelle eine der kleinstmöglichen physikalischen Schaltkreise, die eine digitale Ausgabe erzeugen kann [11]. Dabei werden Fertigungsschwankungen ausgenutzt, die sich in einer Vorspannung der SRAM-Speicherzellen manifestieren. In der Einschaltphase des SRAMs werden die SRAM-Zellen aus einem metastabilen Zustand in eine ihrer bistabilen Zustände gezogen, die entweder den logischen Wert Null oder Eins darstellen. Die Tendenz, sich auf einen stabilen Zustand einzupendeln, ist auf winzige Abweichungen von der ansonsten symmetrischen Anordnung der Transistoren zurückzuführen. Die Inverter bilden eine positive Rückkopplungsschleife, die die Transistoren zu großen Unterschieden zwingt. Dadurch verlässt die SRAM-Zelle den metastabilen Zustand, was schließlich zu einem so genannten Startwert von einem der logischen Werte führt. Dabei zeigen die meisten Zellen ein stabiles Verhalten während des Einschaltens, beziehungsweise eine starke Tendenz beim Initialisieren auf einen festen Startwert. Ein Array aus mehreren Startwerten von SRAM-Zellen ergibt ein Startmuster, das als PUF-Messung X ausgewertet wird. Dieses dient als Fingerabdruck für das SRAM-Modul [24].

4.1.1 SRAM als Entropiequelle

Es wird davon ausgegangen, dass sowohl Prozessschwankungen als auch Rauschen die Verzerrung einer Zelle beeinflussen. Der Bias einer Zelle ist eine kontinuierliche Größe, die die Tendenz dieser Zelle zu 0 oder 1 beim Einschalten darstellt. Nach dem Einschalten wird der Bias durch Rauschen beeinflusst, so dass jede Zelle über viele Einschaltvorgänge durch eine Wahrscheinlichkeits-Verteilungsfunktion beschrieben werden kann. Eine Zelle mit einem Bias auf 0 oder 1 wird beim Einschalten unabhängig von den Rauschbedingungen auch auf 0 oder 1 gesetzt. Eine Zelle mit neutralem Bias hat keine starke Tendenz zu einem der beiden Zustände und kann sich entweder auf 0 oder 1 einschalten. Eine neutrale Zelle besteht nicht unbedingt aus perfekt aufeinander abgestimmten Komponenten. Stattdessen weist sie eine unbestimmte Kombination von Variationen auf, die sich beim Einschalten unter Nennbedingungen annähernd ausgleichen. Eine solche Zelle bleibt nicht unter allen Betriebsbedingungen neutral. Zur Veranschaulichung ist in Abbildung 4.1 ein 64-Bit Fingerabdruck abgebildet. Die Helligkeit der Schattierung einer Zelle

repräsentiert dabei die Wahrscheinlichkeit P , den Zustand 1 anzunehmen [11]. Durch das zufällige Rauschen und die daraus resultierende Verzerrung der SRAM-Zellen kann ein SRAM als Entropiequelle genutzt werden, um Seeds aus dem Einschaltzustand eines SRAMs zu extrahieren [28].

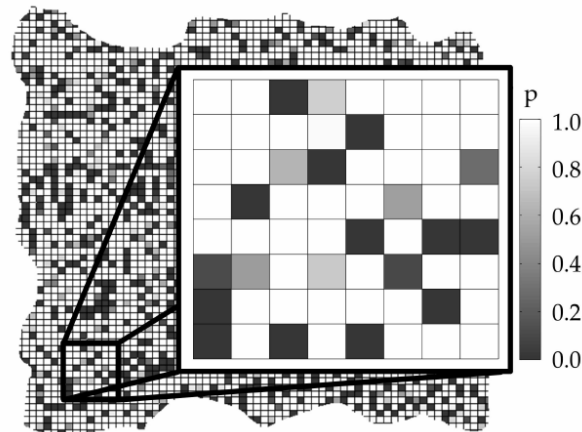


Abbildung 4.1: Ein 64-Bit-Fingerabdruck in der jede Zelle die Wahrscheinlichkeit P hat den Zustand 1 anzunehmen [25]

4.1.2 Auslesen der Startwerte

Es ist erforderlich auf das unveränderte Startmuster der SRAM-Zellen zuzugreifen, um einen Messwert aus einer SRAM-basierten PUF abzurufen. Hier wird das Attribut unverändert besonders hervorgehoben. Es bezieht sich auf den Zustand des SRAM-Arrays kurz nach dem Einschalten und bevor ein Prozess einen Schreibzugriff auf dem Speicher durchgeführt hat. Jeder Schreibvorgang auf das SRAM würde höchstwahrscheinlich das Einschaltmuster so verändern, dass die resultierenden Werte ein Artefakt des entsprechenden Softwareprozesses und nicht der zugrunde liegenden physikalischen Eigenschaften des SRAM-Moduls sind [24].

Die Logik zur Abfrage einer SRAM-basierten PUF besteht aus vier wesentlichen Schritten. Zuerst erfolgt die Einrichtung einer Kommunikationsschnittstelle zur Übertragung der Startwerte an einen Host-Rechner. Dies erfolgt in der Regel unter Verwendung von Universal Asynchronous Receiver Transmitter (UART). Als nächstes wird Beginn und Größe des Speicherbereichs bestimmt, der als PUF abgefragt werden soll. Bei der anfänglichen Auswertung soll dieser Bereich maximiert werden, um eine vollständige Cha-

rakterisierung des SRAM-Moduls zu erhalten. Nach der Auswertung der PUF-Instanz wird jedoch nur ein minimaler SRAM-Bereich verwendet, um so wenig SRAM wie möglich zu verbrauchen. Im dritten Schritt werden die einzelnen Bytes des entsprechenden Speicherbereichs ausgelesen und an den Host-Rechner zur Auswertung oder als Eingabe für eine Fuzzy-Extraktor-Konstruktion zur Schlüsselableitung weitergeleitet. Im Letzten Schritt wird aus Sicherheitsgründen das Startmuster der jeweiligen PUF überschrieben, um für andere Prozesse unzugänglich zu sein [24].

Wenn ein dedizierter SRAM-Chip für die PUF-Nutzung genutzt werden kann, steht das gesamte SRAM für die Extraktion eines Fingerabdrucks zur Verfügung. In diesem Fall und abhängig vom Design der Stromversorgung des SRAM-Moduls kann das SRAM mit Strom versorgt und somit die PUF zu jedem beliebigen Zeitpunkt abgefragt werden. Die Nutzung des integrierten On-Chip-SRAMs kommerzieller Geräte bringt jedoch einige kritische Einschränkungen mit sich. Diese beeinflussen nicht nur die Art und Weise der Anbindung der PUF, sondern auch den Zugriffszeitpunkt auf die PUF. Wird ein SRAM-Modul neben der PUF-Nutzung in erster Linie als Hauptspeicher der eingebetteten MCU verwendet, muss auf die Extraktion eines unveränderten SRAM-Startmusters geachtet werden. Insbesondere muss die PUF-Messung unmittelbar nach dem Einschalten des SRAM-Moduls durchgeführt werden. Dies entspricht in der Regel einer frühen Phase während der Bootvorgangs des gesamten Gerätes. Außerdem kann nur ein Bruchteil des SRAM genutzt werden, da der Rest für die Ausführung der Firmware (das heißt für Stack oder Heap) verfügbar gehalten werden muss und daher vor der PUF-Messung verändert worden sein kann [24].

4.2 Die Eigenschaften Einzigartigkeit und Zuverlässigkeit

Um auf die Qualität eines PUFs Rückschlüsse ziehen zu können, werden in dieser Arbeit insbesondere die zwei Eigenschaften Einzigartigkeit und Zuverlässigkeit betrachtet. Die Eigenschaft Einzigartigkeit gilt sowohl für einzelne PUF-Antworten als auch zwischen verschiedenen Antworten. Für diesen Eigenschaften müssen zwei Bedingungen erfüllt sein. Für die erste Bedingung müssen alle Bits innerhalb einer einzelnen PUF-Antwort zufällig und unvorhersehbar sein. So liefern die Bits einer einzigen Antwort keine Information übereinander. Weiterhin muss zwischen verschiedenen Geräten ausreichend Entropie in der Quelle vorhanden sein. Das bedeutet statistisch gesehen ist jedes Gerät

einzigartig und die Wahrscheinlichkeit, dass zwei Geräte dieselbe PUF-Antwort haben, ist vernachlässigbar klein [25].

Die zweite Eigenschaft ist die Zuverlässigkeit. Unter Zuverlässigkeit versteht man, dass wann immer eine neue PUF-Antwort gemessen wird, die ursprüngliche Referenzmessung wiedererkannt wird, die während der Enrollment-Phase durchgeführt wurde. Wenn auf demselben Gerät mehrfach eine PUF-Antwort gemessen wird, wird durch zusätzliches Signalrauschen auf der Referenzmessung eine Anzahl an Fehlern (Bit-Flips) auftreten. Je nach implementierten Fehlerkorrekturcode kann durch einen Abgleich der Informationen in einem sogenannten Fuzzy-Extraktor ein bestimmtes Maß an Signalrauschen korrigiert werden [25].

4.3 Anwendungsbeispiele

Zufallszahlen werden zur Lebenszeit eines IoT-Gerätes von einer Vielzahl von Anwendungsfällen angefordert. Die Anwendungsfälle dienen entweder allgemeinen Zwecken oder sie werden für kryptografisch sichere Zufallszahlen benötigt. Für die allgemeine Verwendung sind lediglich ausreichend gut repräsentierte statistische Eigenschaften erforderlich. Kryptografisch sichere Zufallszahlen müssen auch bei böswilligen Angriffen unvorhersehbar bleiben. Während die erste Kategorie im Verhältnis leicht erreicht werden kann, ist die Bereitstellung von sicheren Zufallszahlen im eingeschränkten Umfeld schwieriger und kann je nach Angreifermodell und Stärke des Angreifers möglicherweise überhaupt nicht erreicht werden [16].

Die Erzeugung von Schlüsseln, Salts oder Nonces erfordert Zufallsdaten, die für Angreifer unvorhersehbar sind. Daher müssen Zufallszahlengeneratoren (RNGs) mit Seeds mit hoher Entropie gespeist werden. Um Zufallszahlen für kryptografische Anwendungen zu erzeugen, sollte idealerweise eine physikalische Quelle genutzt werden die echte Zufälligkeit liefert. Solche nicht-deterministischen Quellen leiten ihre Zufälligkeit von zugrunde liegenden physikalischen Eigenschaften ab, die ein unvorhersehbares Verhalten zeigen. Die meisten dieser physikalischen RNG-Konstruktionen haben jedoch zwei Nachteile. Erstens benötigen sie spezielle Hardware, um die Zufälligkeit aus den physikalischen Einheiten des Gerätes zu extrahieren. Zweitens ist der Durchsatz solcher RNGs oft zu gering für kryptografische Anwendungen, bei denen große Ströme von Zufallsbits benötigt werden. Daher wurden PUF-basierte RNGs vorgeschlagen. Diese nutzen das inhärente Rauschen einer PUF-Messung aus, um echte Zufallsdaten zu liefern [24].

4.3.1 **Echte- und Pseudozufallszahlengeneratoren**

Pseudozufallszahlengeneratoren (PRNG) sind deterministische Algorithmen, die Zufallszahlen mit guten Zufallseigenschaften generieren können. Diese werden durch vier Merkmale beschrieben. Dazu zählen eine lange Periode, die Effizienz, die Reproduzierbarkeit und die Portabilität. Die lange Periode beschreibt die Größe der noch nie dagewesenen Sequenz, die der Generator erzeugen kann und von der aus er sich selbst wiederholt. Die Effizienz gibt die erzeugte Menge an Zahlen an, basierend auf der Zeiteinheit und dem Energieverbrauch. Die Reproduzierbarkeit erlaubt es, dass der Generator eine zuvor erzeugte Sequenz reproduzieren kann und durch die Portabilität verhalten sich Implementierungen in verschiedenen Systemen gleich [20].

Um eine gegebene Pseudozufallssequenz zu reproduzieren, muss bei der Initialisierung eines PRNG dieselbe Seed verwendet werden. Die Seed wird vom Generator verwendet, um seinen internen Zustand vor dem Erzeugen einer Pseudozufallssequenz einzustellen. Bei der Seed handelt es sich in der Regel um eine von einem True Random Number Generator (TRNG) erzeugte Sequenz. Diese kann dem PRNG beispielsweise manuell, über eine API oder hartcodiert zum Zeitpunkt der Herstellung zur Verfügung gestellt werden [20].

Ein echter Zufallszahlengenerator (True Random Number Generator, TRNG) ist in der Regel ein Gerät, das ein physikalisches Verhalten oder einen in der Natur vorkommenden Prozess misst. TRNGs werden häufig zur Erzeugung von Seeds für Pseudozufallszahlengeneratoren (PRNGs) verwendet. Beispielsweise können das thermische Rauschen in Halbleitern oder die Photonenzählung in einem Laserstrahl gemessen werden. Durch die Abhängigkeit der Messung von einem physikalischen Phänomen müssen Sensoren verwendet werden. Die Sensoren machen das System komplexer und teurer. Außerdem sind TRNGs langsam und können eine zuvor erzeugte Sequenz nicht reproduzieren [20].

4.3.2 **Zufallszahlengeneratoren für allgemeine und kryptografische Zwecke**

Zufallszahlengeneratoren können für zwei unterschiedliche Zwecke genutzt werden. Darunter fallen PRNGs für allgemeine Zwecke und CSPRNGs für kryptografische Zwecke.

Die PRNGs für allgemeine Zwecke sind von Sicherheitsaspekten unabhängig. Allzweck-PRNGs sind für die meisten IoT-Geräte unverzichtbar. Sie werden in vielen Anwendungsfällen benötigt, beispielsweise für das Jittering von Netzwerkprotokoll-Timern oder Medienzugriffsprotokollen, um Kollisionen auf einem Medium zu vermeiden. Weitere Anwendungen sind zufällige Abtastung von Sensormessungen und Fuzzy-Tests. Das gewünschte Ergebnis eines PRNG ist ein gleichmäßig verteilter Strom statistisch unabhängiger Zufallszahlen. Die verwendeten Seeds zwischen logisch gleich aufgebauten Geräten müssen sich unterscheiden, um ein identisches Zufallsverhalten über alle Geräte hinweg zu vermeiden. Idealerweise sollte darauf geachtet werden bei jedem Neustart des Gerätes eine neue Seed zu verwenden. Die Implementierungen sollten schnell und effizient sein, um die Ressourcen der eingeschränkten Geräte zu schonen. Verfügbare Ressourcen werden besser für Generatoren mit hohen Sicherheitsanforderungen verwendet [16].

Zufallszahlengeneratoren die sicher für Sicherheitsanwendung eingesetzt werden können, werden kryptografisch sichere Zufallszahlengeneratoren (CSPRNGs) genannt. Diese beinhalten die Erzeugung von kryptografischen Schlüsseln, Nonces oder Salts. Es muss für CSPRNGs rechnerisch unmöglich sein, das nächste Bit der Ausgabe mit einer Wahrscheinlichkeit von mehr als 50 % vorherzusagen. Die Sicherheit kryptografischer Systeme beruht auf diesen Zufallszahlen als grundlegende Eingabe. Daher wird von CSPRNGs erwartet, dass sie höchst unvorhersehbare Zahlenfolgen ausgeben und gegen bekannte Angriffe resistent sind. Die Sicherheit einer Implementierung geht über den Umfang der rechnerischen Bemühungen zur Vorhersage künftiger Ausgaben hinaus. Sie umfasst Gegenmaßnahmen zum Schutz vor schwachen Implementierungen sowie zur Kompromittierung des Zustands durch einen Angreifer [16].

Ein CSPRNG verbraucht mehr Systemressourcen und ist komplexer in der Entwicklung als ein PRNG für allgemeine Zwecke. Er umfasst zusätzliche Bausteine wie Chiffren, kryptografische Hash-Funktionen, Laufzeittests und eine besonders robuste Seeding-Logik. Insbesondere der Speicherbedarf aber auch der Rechenaufwand dieser Bausteine stehen in potenziellem Konflikt mit den Ressourcenbeschränkungen von IoT-Knoten. Die Verfügbarkeit sicherer Zufallszahlen ist aber für eine sichere Kommunikation über das Internet unerlässlich. Die vier wichtigsten Aspekte von CSPRNGs sind statistische Zufälligkeit, Unvorhersehbarkeit und Seeds mit hoher Entropie [16].

Die statistische Zufälligkeit gibt an, dass jede statistische Verzerrung zu elementaren Angriffspunkten führt. Ein CSPRNG muss auch dann nicht von echten Zufällen unterscheidbare Sequenzen erzeugen, wenn sie aus deterministischen Algorithmen besteht.

Diese Eigenschaft beruht auf der Annahme, dass in einer Kette von pseudozufälligen Bits die Wahrscheinlichkeiten für 1 und 0 zu jedem Zeitpunkt gleich und statistisch unabhängig sind. Selbst eine sehr kleine Verzerrung muss als potenzieller Verstoß gegen die Annahme der Zufälligkeit betrachtet werden und widerspricht den kryptografischen Anforderungen an einen sicheren Generator [16].

Die Unvorhersehbarkeit bedeutet für CSPRNGs, dass sie gegen externe und interne Angriffe resistent sein müssen. Dabei wird zwischen der Resistenz einer Vorhersage und der Rückverfolgung unterschieden. Unvorhersagbarkeit bedeutet, dass ein Angreifer selbst bei vollkommen bekanntem Algorithmus nicht in der Lage ist, zukünftige Ergebnisse in der Rechenzeit zu erraten. Um dies bei einer bestimmten statistischen Qualität zu erreichen, muss der Seed völlig unvorhersehbar sein. Darüber hinaus müssen CSPRNGs auf kryptografischen Funktionen aufbauen. Dabei handelt es sich in der Regel um Einweg-Hash-Funktionen und Blockchiffren, die praktisch nicht umkehrbar sind und aus verschiedenen Eingaben keine kollidierenden Ergebnisse erzeugen. Die Resistenz der Rückverfolgung schützt nach einer Kompromittierung vor einer Rekonstruktion früherer Werte oder sogar des Seeds. Das bedeutet, dass es keine Korrelation zwischen Seed und generierter Ausgabe geben darf, womit eine perfekte Geheimhaltung in kryptografischen Protokollen gewährleistet wird. Dies wird durch die Anwendung kryptografischer Funktionen auf den internen Zustand des Generators realisiert. Falls vorhanden, kann die Geheimhaltung durch die Speicherung des Zustands in einem geschützten Speicher gehärtet werden [16].

Seeds mit hoher Entropie sind notwendig, um die Ausgabe eines CSPRNG unvorhersehbar zu machen. Als Maß für ihre Zufälligkeit wird die Shannon Entropie oder die Minimalentropie verwendet, wobei die zufälligen Bits aus physischen Ressourcen extrahiert werden. In diesem Zusammenhang werden physikalische Zufallsressourcen oft als Entropiequellen bezeichnet. Es existieren unterschiedliche physikalische Zufallsquellen. Unter anderem nutzen sie Schwankungen in elektronischen Schaltkreisen, wie Taktgeberabweichungen oder initialisierten Speicher. Weiterhin nutzen sie zufällig verrauschte Signale, wie thermisches Rauschen oder Benutzereingabesignale wie Tastenanschläge oder Mausclicks. Diese sind normalerweise nicht im IoT verfügbar [16].

4.3.3 Identifikation und Authentifizierung

In vielen Anwendungen, wie zum Beispiel im RFID-Bereich, wird die Identifizierung von Mikrochips gefordert. Der Chip schickt dabei einem Lesegerät die von der PUF generierte Zahl zu. Mit einer bei der Produktion des Chips erstellten Datenbank wird die empfangene Zahl verglichen und zugeordnet. Um die Wahrscheinlichkeit einer sich wiederholenden Zahl zur Identifizierung zu verringern, kann die Anzahl der ausgegebenen Stellen einer PUF-Antwort erhöht werden. Wenn die Anzahl der Stellen hoch genug und die Anzahl der auftretenden fehlerhaften Bits ausreichend gering ist, besteht weiterhin die Möglichkeit, den Chip mit Hilfe von fehlerkorrigierenden Codes richtig zu identifizieren. Sollten sich bei einem späteren Auslesen zu viele Bits von der Zahl in der Datenbank unterscheiden, kann die ID nicht zugeordnet werden. Im Prinzip wird mit Hilfe eines Lesegerätes der zu identifizierende Tag ausgelesen und mit den IDs aus der Datenbank verglichen. Die ID, mit dem geringsten Unterschied zur ausgelesenen ID, wird als wahre Identität definiert [10].

Bei einer Authentifizierung wird eine Identität überprüft, die behauptet echt zu sein. Bei diesem Verfahren muss eine Datenbank mit Challenge-Response-Pairs (CRP) angelegt werden, noch bevor der Chip im Umlauf ist. Dafür werden Zufallswerte (Challenges) generiert und die Ergebnisse der PUF (Responses) ausgelesen. Eine angelegte Datenbank kann nur eine begrenzte Zahl an CRPs speichern und aus sicherheitstechnischen Gründen kann jedes CRP nur einmal verwendet werden. Daher ist auch die Anzahl der möglichen Authentifizierungen begrenzt. Sollten alle Authentifizierungen aufgebraucht sein, können neue CRP generiert und in die Datenbank eingetragen werden [10].

Bei kryptografischen Operationen werden PUFs für die Generierung von Schlüsseln verwendet. Hierbei besteht die Notwendigkeit, dass der Schlüssel immer exakt derselbe ist. Sollte bereits ein Bit falsch sein, wird der Schlüssel unbrauchbar. Damit die Reproduzierbarkeit garantiert werden kann, ist eine mathematische Nachbearbeitung des Ergebnisses notwendig. Dafür werden beim erstmaligen Auslesen der PUFs Hilfsdaten zur Fehlerkorrektur erzeugt. Wenn nicht zu viele Fehler auftreten, kann mit den Hilfsdaten die erstmalige ausgelesene Zahl wiederhergestellt werden. Der Vorteil bei dieser Verwendung von PUFs ist die hohe Sicherheit des Systems. Es ist nahezu unmöglich den Schlüssel im stromlosen Zustand auszulesen, da der Schlüssel durch die von Prozessschwankungen abhängigen PUFs generiert wird [10].

4.4 Fuzzy-Extraktor

PUFs sind von Natur aus verrauscht und müssen mit Fehlerkorrekturmechanismen wie Fuzzy-Extraktoren kombiniert werden. Diese entfernen die Auswirkungen des Rauschens, bevor die PUF-Antwort in einem kryptografischen Algorithmus verarbeitet werden kann [14]. Die wichtigsten Hauptfunktionen eines Fuzzy-Extraktors sind das Verschlüsseln eines Geheimnisses in der Enrollment-Phase sowie der Informationsabgleich für die Rekonstruktion eines Geheimnisses [18]. Mit einem Fuzzy-Extraktor bieten PUFs eine signifikant höhere physische Sicherheit. Andere Methoden, die unvorhersehbare Informationen in nicht-flüchtigen Speicher halten, können jederzeit erneut ausgemessen werden. Deshalb werden sie beispielsweise auch als Speichermechanismus für kryptografische Schlüssel verwendet. Bei dieser Anwendung wird zwischen zwei Phasen unterschieden: dem Enrollment und der Rekonstruktion [25].

4.4.1 Enrollment

Der Enrollment-Prozess wird vom Hersteller oder dem Systemintegrator für jedes Gerät einmal durchgeführt. Er dient zwei Hauptzwecken: einerseits der Ableitung des gerätespezifischen Schlüssels K und andererseits der Erzeugung der so genannten Hilfsdaten W . Der kryptografische Schlüssel wird aus einem zufällig gewählten Geheimnis S abgeleitet. Das Geheimnis wird als Eingabe in eine kryptografisch sichere Hash-Funktion $H(\cdot)$ eingespeist: $K \leftarrow H(S)$. Das Geheimnis wird vom Hersteller vordefiniert und muss für jedes Gerät eindeutig sein [24].

In Abbildung 4.2 wird der Enrollment-Prozess dargestellt. Die PUF-Antwort wird als Referenzmessung (R) bezeichnet und ist der Input für den Fuzzy-Extraktor. Der Fuzzy-Extraktor (FE) leitet einen kryptografischen Schlüssel aus einem zufälligen Geheimnis ab und berechnet Hilfsdaten durch eine XOR-Verknüpfung des verschlüsselten Geheimnisses mit der Referenz-PUF-Antwort. Die Hilfsdaten werden in einem nicht-flüchtigen Speicher auf dem Gerät selbst gespeichert. Dabei repräsentieren die Hilfsdaten eine öffentlich zugängliche Information [18]. Die öffentlich zugänglichen Informationen geben dabei keine Informationen über den Schlüssel preis [24].

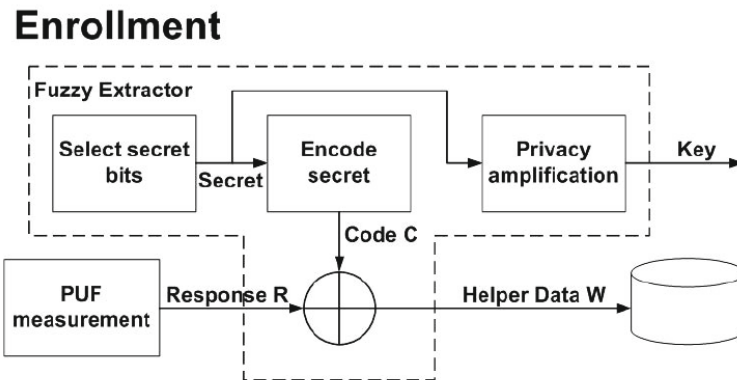


Abbildung 4.2: Ablauf der Enrollment-Phase [18]

4.4.2 Rekonstruktion

Der Rekonstruktions-Prozess wird auf der Benutzerseite durchgeführt und erfolgt jedes Mal, wenn der Benutzer das entsprechende Gerät startet [24]. In der Rekonstruktions-Phase wird, wie in Abbildung 4.3 dargestellt, die gleiche PUF erneut ausgemessen. Die PUF-Antwort wird in den Fuzzy-Extraktor eingespeist. Dabei unterscheidet sich eine neue PUF-Messung (R') geringfügig von der Referenzmessung. Der Fuzzy-Extraktor verwendet die Hilfsdaten und die neue PUF-Messung, um den während der Registrierung einprogrammierten kryptografischen Schlüssel zu rekonstruieren. Wenn die neue PUF-Messung nahe genug an der Referenzmessung liegt, kann der ursprüngliche Schlüssel durch einen Informationsabgleich erfolgreich rekonstruiert werden [18].

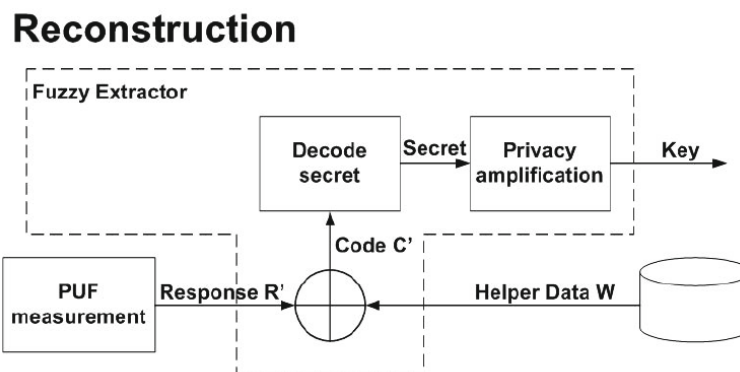


Abbildung 4.3: Ablauf der Rekonstruktions-Phase [18]

Der Informationsabgleich (Decode-Secret) wird durchgeführt, nachdem eine neue PUF-Messung mit den Hilfsdaten XOR-verknüpft wurde. Dadurch wird ein neues Geheimnis (C') erzeugt, welches sich vom verschlüsselten Geheimnis (C) an denselben Positionen unterscheidet, genauso wie eine neue PUF-Messung sich von der Referenzmessung unterscheidet. Wenn eine neue PUF-Messung und die Referenzmessung ausreichend nahe beieinander liegen, kann ein neues Geheimnis in das verschlüsselte Geheimnis korrigiert und somit auch während des Enrollment dekodiert werden [18].

5 Der PUF Seed Generator in RIOT

Das Betriebssystem RIOT stellt Standardnetzwerke für IoT-Geräte zur Verfügung, mit denen handelsübliche Mikrocontroller über das IoT mit dem globalen Internet verbunden werden können. Die Vernetzung von IoT-Geräten und kryptografische Operationen erfordern wie bei den meisten Betriebssystemen Zufallsdaten mit sehr geringer Vorhersagbarkeit. Da die meisten IoT-Geräte mit einer deterministischen Uhr laufen und fast keine Unterscheidungsmerkmale aufweisen, stellt die Generierung nicht vorhersagbarer individueller Zahlen auf Mikrocontroller eine Herausforderung dar. Für dieses Problem wurde für das Betriebssystem RIOT ein Generator für Zufalls-Seeds entwickelt, der auf PUFs basiert. Dazu wurde ein generisches PUF-Extraktor Modul¹ auf der Basis von SRAM-Speicher entwickelt. Das Modul klinkt sich direkt vor der Kernel-Initialisierung in den Startcode des Betriebssystems ein. Die Startmuster eines erhaltenen und eines nicht initialisierten SRAM-Blocks werden in eine Hash-Funktion eingespeist, um den gewünschten Seed-Wert abzuleiten, wie in Abbildung 5.1 dargestellt [15].

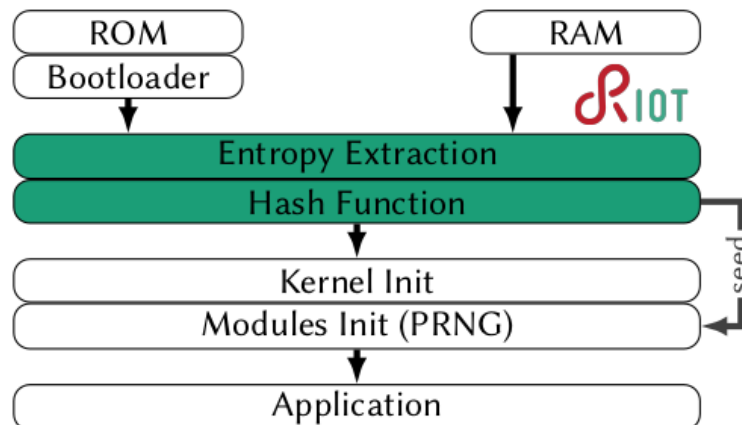


Abbildung 5.1: PUF random seeder in RIOT [15]

¹https://doc.riot-os.org/group__sys__puf__sram.html, abgerufen am 02-10-2022

Das Modul wurde nach den Bewertungskriterien der PUF Eigenschaften Zuverlässigkeit und Einzigartigkeit evaluiert. Für die Bewertung dieser Metriken wurden wiederholt Experimente auf fünf Platinen des Atmel SAMD21² Mikrocontrollers durchgeführt. Von den Mikrocontrollern wurde 1 Kilobyte SRAM ausgelesen, bevor ein RIOT-spezifischer Code ausgeführt wurde. Dabei wurden sie 50-mal für 30 Sekunden ausgeschaltet, bevor sie für die nächste Messung wieder eingeschaltet wurden [15].

Für die Evaluierung der Zuverlässigkeit wurde das Hamming-Gewicht verwendet und das Ergebnis lag bei etwa 0,5. Das deutet darauf hin, dass die SRAM-Zellen nicht auf einen bestimmten Zustand ausgerichtet sind. Für die Evaluierung der Einzigartigkeit wurde die normalisierte Hamming-Distanz mit unterschiedlichen Geräten mit einem Referenzgerät *A* verglichen. Dabei wurden die Abweichungen zwischen den Zellen mit derselben Speicheradresse untersucht und das Ergebnis wurde auf die untersuchte Länge von 1 Kilobyte normiert. Die Werte lagen zwischen 49,2 % und 50,4 %. Sie deuten auf eine geringe Korrelation zwischen den Mustern hin [15].

²https://ww1.microchip.com/downloads/en/DeviceDoc/SAM_D21_DA1_Family_DataSheet_DS40001882F.pdf, abgerufen am 03.10.2022

6 Experimente mit der IoT-Testplattform FIT IoT-LAB

Für die Experimente zum Ausmessen von SRAM PUF wurde ein auf GitHub bereitgestellter Test¹ für die Aktivierung von Low-Power-Modes angepasst. Mit diesem können uninitialisierte Speicherbereiche des SRAM ausgemessen werden. Durch die Aktivierung von Low-Power-Modes entfällt dabei die Notwendigkeit zusätzlicher Hardware als Schnittstelle zwischen einem Mikrocontroller und einem externen Computer. Für die Evaluierung der PUF-Eigenschaften werden Datensätze benötigt, die durch unterschiedliche Experimente erzeugt wurden. Die Experimente wurden auf einer IoT-Testplattform mit mehreren Hundert Testgeräten vom Typ IoT-LAB-M3 durchgeführt. Dabei wurden die Daten über die serielle Schnittstelle (UART) des Testgerätes ausgegeben und von einem sogenannten Serial-Aggregator zusammengefasst.

6.1 Die Testplattform FIT IoT-LAB

Das FIT IoT-LAB [5] ist eine öffentliche Testplattform, die aus über 2700 drahtlosen Low-Power-Knoten und 117 mobilen Robotern besteht. Die Plattform steht für Experimente mit drahtlosen IoT-Technologien im großen Maßstab zur Verfügung. Das IoT-LAB-Testbed wird an 6 Standorten in ganz Frankreich eingesetzt. Jeder Standort verfügt über unterschiedliche Knoten und Hardwarekapazitäten. Dabei sind alle Standorte miteinander verbunden und über dasselbe Webportal, gemeinsame REST-Schnittstellen und einheitliche CLI-Tools verfügbar. Das Ergebnis ist eine heterogene Testumgebung, die ein breites Spektrum von IoT-Anwendungsfällen und Applikationen abdeckt. IoT-LAB ist eine einzigartige Einrichtung, die es jedem ermöglicht seine Lösung in großem Maßstab zu testen, zu experimentieren und neue Netzwerkkonzepte abzustimmen. Als hochmoderne

¹https://github.com/PeterKietzmann/RIOT/tree/pr_puf_id_gen/tests/puf_sram, abgerufen am 03-10-2022

Testumgebung ist das IoT-LAB darauf ausgerichtet, die Bedürfnisse und Anforderungen der heutigen und zukünftigen IoT-Technologie zu erfüllen [1].

Die Testplattform bietet drei Hauptmerkmale. Das Erste ist die heterogene und reichhaltige Umgebung, die für ein breites Spektrum von IoT-Anwendungen geeignet ist. Darunter fallen Hardware, Topologien, Betriebssysteme, aktuelle standardisierte Protokollstapel und Bibliotheken. Als Zweites besitzt sie die Fähigkeit laufende Experimente zu verwalten, mit ihnen zu interagieren und sie zu überwachen. Darüber hinaus bietet die Testplattform die Fähigkeit ein Experiment durch Visualisierungs- und Reproduzierbarkeitswerkzeuge zu steuern [1]. Außerdem bietet die Plattform CLI-Tools an, mit denen per Fernzugriff Experimente übermittelt und einzelne Knoten ausgeschaltet, eingeschaltet, programmiert oder zurückgesetzt werden können. Ein weiterer Teil der CLI-Tools ist der Serial-Aggregator, mit dem der Output der Testgeräte eines Experimentes über die serielle Schnittstelle (UART) aggregiert werden kann. Dies vereinfacht das Sammeln und Erzeugen von Datensätzen mit mehreren Hundert Testgeräten ².

6.2 Das IoT-LAB-M3 Entwicklungsboard

Das für diese Arbeit verwendete Entwicklungsboard ist das IoT-LAB-M3 [6], das speziell für die IoT-LAB Testplattform entwickelt wurde. Es basiert auf einem STM32 [26] (ARM Cortex M3) Mikrocontroller mit einer ATMEL Funkschnittstelle in 2,4 GHz und vier Sensoren, wie in Abbildung 6.1 dargestellt.

Das IoT-LAB-M3 unterstützt, wie in Abbildung 6.2 zu sehen ist, einen externen 128-MBit-NOR-Flash-Speicher (N25Q128A13E1240F). Dieser ist über den SPI-Bus mit der MCU verbunden, um eine schnelle Datenübertragung zu ermöglichen. Mit diesem Speicher werden üblicherweise von Sensoren erfasste Daten gespeichert, während ein Programm läuft. Ein weiterer Anwendungsfall ist das Over-The-Air-Update für die Firmware der MCU. Einige eingebettete Betriebssysteme partitionieren den ROM-Speicher, um verschiedene Versionen der Firmware herunterzuladen und zu speichern [6].

Der Cortex-M3 ist eine 32-Bit-CPU, mit einer Taktrate von bis zu 72 MHz. Es ist in den STM32 MCU integriert und wird von STMicroelectronics hergestellt. Diese MCU ist mit 64KB RAM und 256KB ROM ausgestattet. Der Cortex-M3 unterstützt drei verschiedene LPM: Sleep, Stop und Standby. Im Sleep-Modus wird nur die CPU gestoppt.

²<https://iot-lab.github.io/docs/tools/serial-aggregator/>, abgerufen am 03-10-2022

Alle weiteren mit der CPU verbundene Peripherien können ihre Operationen fortführen. Der Stop-Modus erreicht einen niedrigen Stromverbrauch, wobei der Inhalt des SRAM erhalten bleibt. Im Standby-Modus wird auch ein niedriger Stromverbrauch erreicht. Allerdings wird der SRAM abgeschaltet, wodurch sich der Speicherinhalt verflüchtigen kann [4].

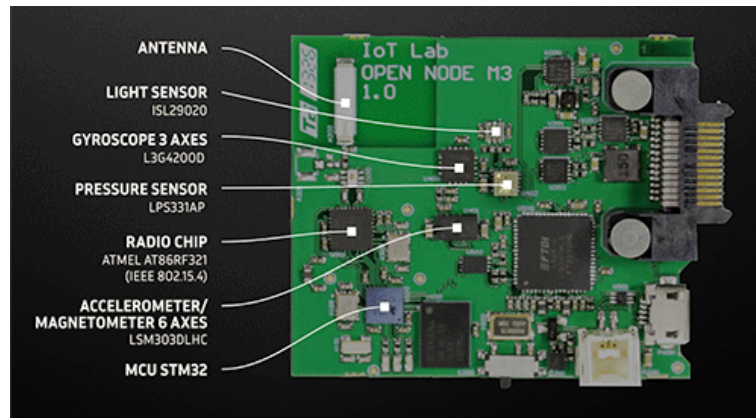


Abbildung 6.1: IoT-LAB M3 mit verschiedenen verbauten Sensoren und einer STM32 MCU [6]

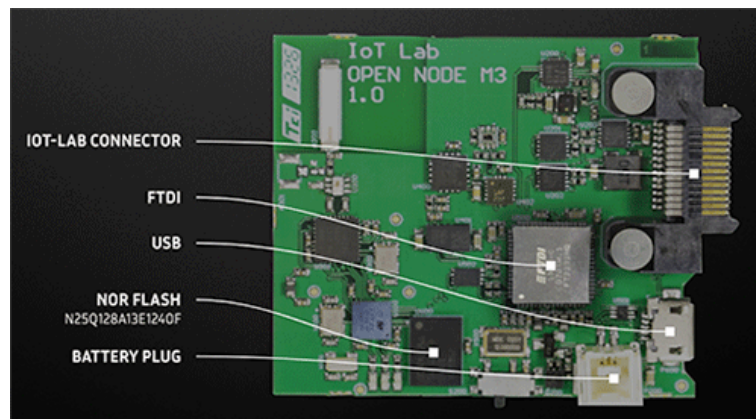


Abbildung 6.2: IoT-LAB M3 mit einem NOR-Flashspeicher [6]

Der STM32 kann, wie in der Architektur der Abbildung 6.3 zu sehen ist, über den an USB angeschlossenen FTDI2232H über JTAG zurückgesetzt, debugged und programmiert werden. Diese Komponente ermöglicht auch eine UART-Verbindung zum STM32 [6].

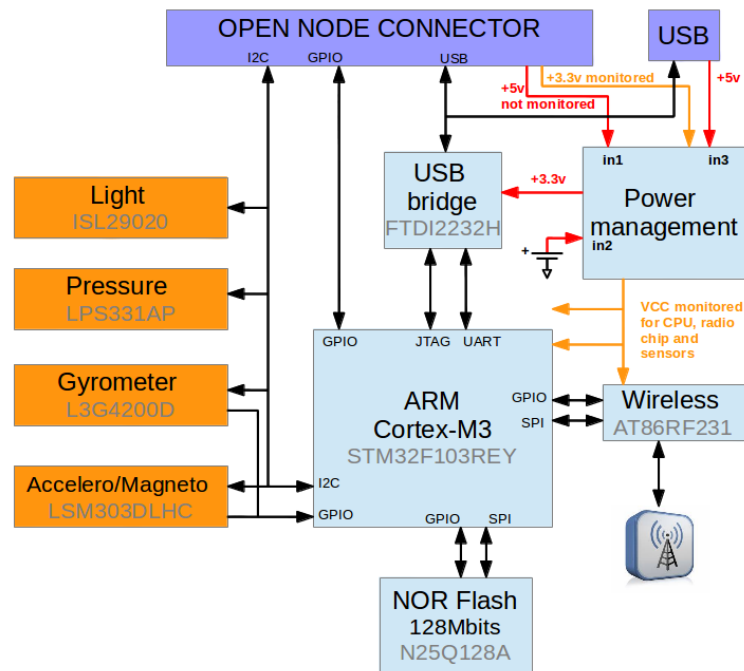


Abbildung 6.3: Architektur des IoT-LAB-M3 Boards [6]

6.3 Ausmessen von SRAM-Startwerten mit aktiviertem Low-Power-Mode

Der Ablauf zum Ausmessen von SRAM-Startwerten wird in Abbildung 6.4 dargestellt. Nach dem Einschalten des Gerätes wird der Bootvorgang gestartet. Zu Beginn des Bootvorgangs wird ein SRAM-Speicherbereich von 1 Kilobyte ausgelesen. Dies passiert noch bevor der erste Code mit Schreibzugriff auf den SRAM ausgeführt wird. Nach dem Auslesen wird der Bootvorgang bis zum Ende fortgesetzt, bis die Kontrolle an den Main-Thread übergeben wird. Nach dem Betreten der Hauptfunktion wird das zuvor ausgelesene SRAM-Startmuster über die serielle Schnittstelle ausgegeben. Danach wird mit dem RTC-Modul ein Alarm eingestellt, der nach Ablauf von 30 Sekunden einen Interrupt auslöst. Zum Schluss wird im Kontext der Hauptfunktion über das Power-Management von RIOT der LPM gesetzt, wodurch das Testgerät in den Standby-Modus übergeht. Da im Standby-Modus des IoT-LAB-M3 Mikrocontrollers die SRAM-Komponente abgeschaltet wird, verflüchtigt sich sein Speicherinhalt. Nach Ablauf der Zeit und auslösen des eingestellten RTC-Alarms, wird der Standby-Modus unterbrochen. Dadurch kehrt das Testgerät in den Normalbetrieb zurück und der Bootvorgang wird im Reset-Handler erneut

gestartet wird. Dieser Vorgang kann für eine beliebige Anzahl an Messungen durchgeführt werden. Für die Erzeugung von Datensätzen wurde dieser Vorgang in den Experimenten 100-mal ausgeführt.

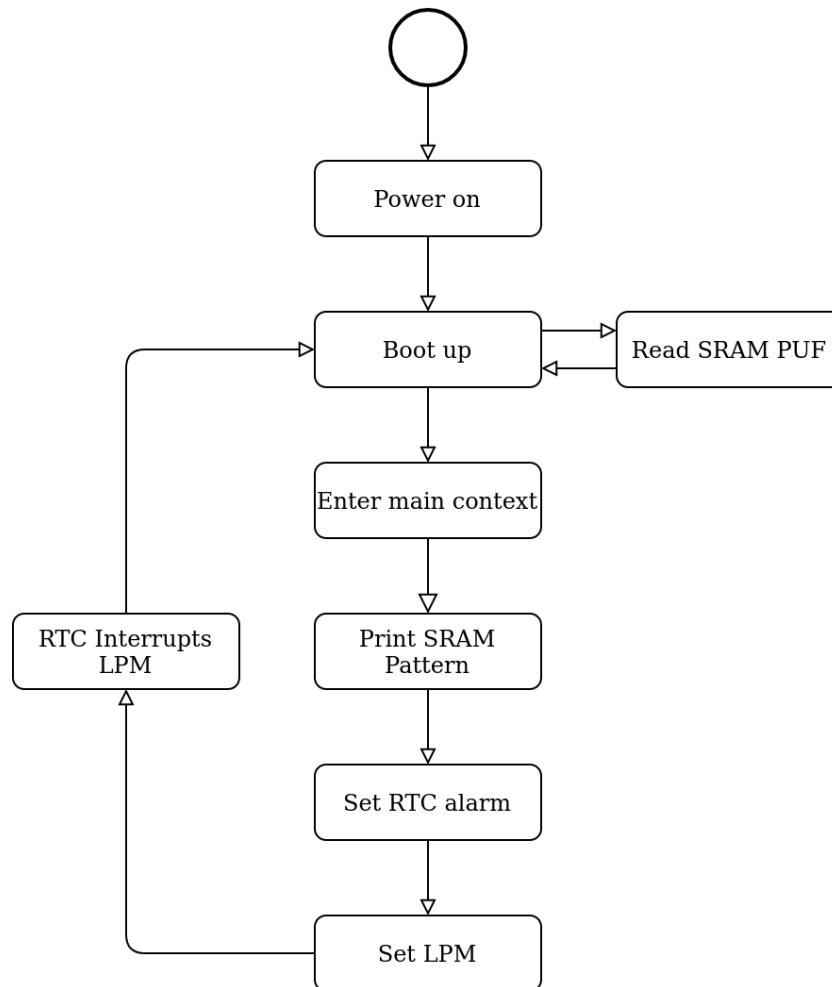


Abbildung 6.4: Ablaufdiagramm für das Ausmessen von SRAM-Startwerten mit LPM

6.4 Erzeugen von Identitäten mit aktiviertem Low-Power-Mode

Der Ablauf zum Erzeugen einer Identität (ID) mit aktiviertem LPM wird in Abbildung 6.5 dargestellt. Zuerst wird die Stromversorgung des Gerätes hergestellt, worauf der Bootvorgang gestartet wird. Auch hier wird zu Beginn des Bootvorgangs noch vor der ersten Speicherinitialisierung ein SRAM-Speicherbereich von 1 Kilobyte ausgelesen. Das Startmuster wird in einer gesonderten Datensektion im SRAM gespeichert, wodurch es später im Main-Thread wieder abgerufen werden kann. Nach Beendigung des Bootvorgangs wird die Kontrolle an den Main-Thread übergeben. Im Main-Thread wird zunächst überprüft, ob bereits Hilfsdaten erzeugt wurden. Sollten keine Hilfsdaten vorhanden sein, so wird das Enrollment ausgeführt, anderenfalls die Rekonstruktion.

In der Enrollment-Phase werden mit Hilfe des zuvor gespeicherten Startwertes die Hilfsdaten auf dem Gerät selbst generiert. Die Hilfsdaten werden anschließend mit dem MTD-Modul persistent im Flash-Speicher des Testgerätes hinterlegt. So können diese nach Verlassen eines LPM wieder abgerufen werden. Die Generierung der Hilfsdaten geschieht einmalig zur Laufzeit des Experiments des jeweiligen Testgerätes.

Die Rekonstruktions-Phase wird bei jedem Start ausgeführt, wenn das Testgerät bereits einmal die Prozedur der Enrollment-Phase durchlaufen hat. Die Hilfsdaten werden aus dem Flash-Speicher gelesen und über die API³ des PUF-Moduls wird eine ID generiert. Nach der Enrollment- oder Rekonstruktionsphase wird die erzeugte ID über die serielle Schnittstelle (UART) ausgegeben.

Danach wird auch in diesem Experiment der Alarm der RTC eingestellt, sodass nach Ablauf von 30 Sekunden ein Interrupt ausgelöst wird. Unmittelbar nach dem Einstellen des Timers, wird über das Power-Management Modul das Testgerät in den Standby versetzt. Auch hier verflüchtigt sich der Speicherinhalt des SRAMs im Standby-Modus. Nach dem Ablauf des Timers wird der LPM unterbrochen und das Testgerät geht wieder in den Normalbetrieb zurück. Dadurch wird der Bootvorgang im Reset-Handler erneut gestartet. Dieser Vorgang kann, wie bei dem Experiment davor, ebenfalls beliebig oft wiederholt werden. Für die Erzeugung einer ID wurde dieser Ablauf für das jeweilige Testgerät 100-mal durchgeführt.

³https://github.com/PeterKietzmann/RIOT/blob/pr_puf_id_gen/sys/include/puf_sram.h, abgerufen am 01-10-2022

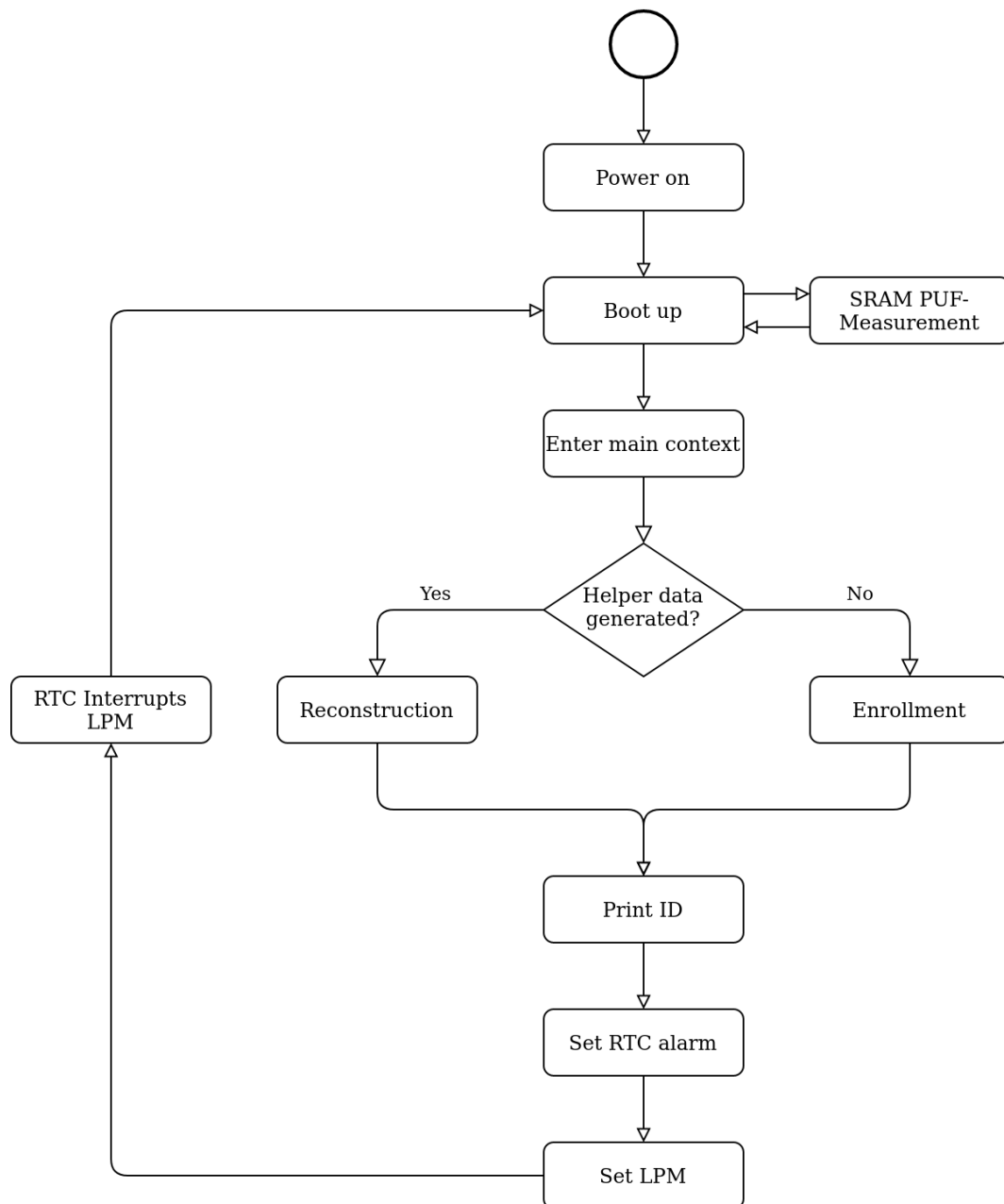


Abbildung 6.5: Ablaufdiagramm der Testfirmware

7 Evaluation von SRAM PUF mit Low-Power-Modes

Die wichtigsten Eigenschaften zum Bewerten einer PUF sind die Zuverlässigkeit und die Einzigartigkeit. Für die Zuverlässigkeit müssen erkennbare Antworten über mehrere Wiederholungen auf demselben Gerät herausgefordert werden, die oft durch Rauschen beeinflusst werden. Für die Einzigartigkeit wird die Korrelation der Ergebnisse über mehrere Geräte hinweg quantifiziert [15].

Die Evaluierung der grundlegenden PUF-Funktionen wurde mit einem geräteinternen Test (Intra-Chip) für die Zuverlässigkeit und einem geräteübergreifenden Test (Inter-Chip) für die Einzigartigkeit in einem Python-Skript durchgeführt. Für den Intra-Chip Test und den Inter-Chip Test wurde die Hamming-Distanz verwendet. Weiterhin wurde ein Bias-Test durchgeführt, um herauszufinden, ob die SRAM-Speicher der verwendeten Testgeräte gegen Eins oder Null verzerrt sind. Bei der Berechnung des Bias-Tests wurde das Hamming-Gewicht verwendet.

Für die Zuverlässigkeit wurde evaluiert, inwiefern sich die Startmuster durch das Rauschen der SRAM-Zellen bei aufeinanderfolgenden Messungen unterscheiden. Für die Einzigartigkeit wurde die Korrelation eines SRAM-Speichers von einem Testgerät A mit allen anderen Testgeräten evaluiert.

7.1 Die Hamming-Distanz und das Hamming-Gewicht

Eine PUF-Messung X , die aus einer SRAM-basierten PUF gewonnen wird, wird als Zeichenkette aus Nullen und Einsen dargestellt. Die Standardmetriken zur Bewertung SRAM-basierter PUFs basieren auf der Hamming-Distanz $HD(X_i, X_j)$, die zwischen Paaren von Messungen (X_i, X_j) berechnet wird [24].

Die Hamming-Distanz HD zwischen zwei Symbolfolgen $a = \{a_1, a_2, \dots, a_n\}$ und $b = \{b_1, b_2, \dots, b_n\}$ der gleichen Länge n , welche aus dem Alphabet Σ besteht, bezeichnet die Anzahl der Stellen, an denen sich die beiden Symbolfolgen unterscheiden [24]:

$$HD(a, b) \stackrel{\text{def}}{=} |\{i \in \{1, 2, \dots, n\} | a_i \neq b_i\}|.$$

Das Hamming-Gewicht HW ist eine Metrik, die die Anzahl der Symbole die nicht Null sind in einer Folge von Symbolen $a = \{a_1, a_2, \dots, a_n\}$ summiert. Dabei wird angenommen, dass a eine Zeichenkette ist, sodass HW die Anzahl der Elemente von a angibt, die nicht Null sind [24]:

$$HW(a) \stackrel{\text{def}}{=} |\{i \in \{1, 2, \dots, n\} | a_i \neq 0\}|.$$

7.2 Berechnung der Metriken in Python

Für die Hamming-Distanz wurde, wie im Listing 7.1 dargestellt, im Python-Skript eine Funktion implementiert. Die Funktion hat zwei Parameter: A und B . Diese repräsentieren jeweils eine Zeichenkette die miteinander verglichen werden, um die Hamming-Distanz zu berechnen. Dazu wird zuerst geprüft, ob A und B die gleiche Länge besitzen. Danach wird die Summe gebildet, indem über alle Elemente von A und B iteriert wird. Dabei werden die Werte an den gleichen Positionen der beiden Zeichenketten XOR-verknüpft. Die daraus resultierenden Einsen werden aufsummiert und bilden den Rückgabewert und die ermittelte HD von zwei miteinander verglichenen Zeichenketten.

```
1 def hamming_distance(a: list, b: list) -> int:  
2     assert len(a) == len(b)  
3     return sum(bin(a[i] ^ b[i]).count("1") for i in range(len(a)))
```

Listing 7.1: Berechnung der Hamming-Distanz in Python

Für das Hamming-Gewicht wurde ebenfalls eine Funktion implementiert, wie in Listing 7.2 dargestellt. Die Funktion hat einen Parameter X , der eine Zeichenkette repräsentiert. Die Funktion bildet die Summe der gezählten Einsen über alle Elemente der Zeichenkette X . Die berechnete Summe stellt den Rückgabewert und den ermittelten Wert des HW dar.

```

1 def hamming_weight(x: list) -> int:
2     return sum(bin(x[i]).count("1") for i in range(len(x)))

```

Listing 7.2: Berechnung des Hamming-Gewichts in Python

7.3 Bias-Test mit dem Hamming-Gewicht

Für den Bias-Test mit dem Hamming-Gewicht soll evaluiert werden, ob die Startwerte in Richtung des Wertes Null oder Eins verzerrt sind. Diese Metrik gibt einen ersten Hinweis über die Zufälligkeit der Startwerte. Das ideale Hamming-Gewicht folgt einer Gaußschen Verteilung mit einem Mittelwert von 50 %. Solch eine Verteilung deutet darauf hin, dass die Einschaltwerte nicht verzerrt sind [24].

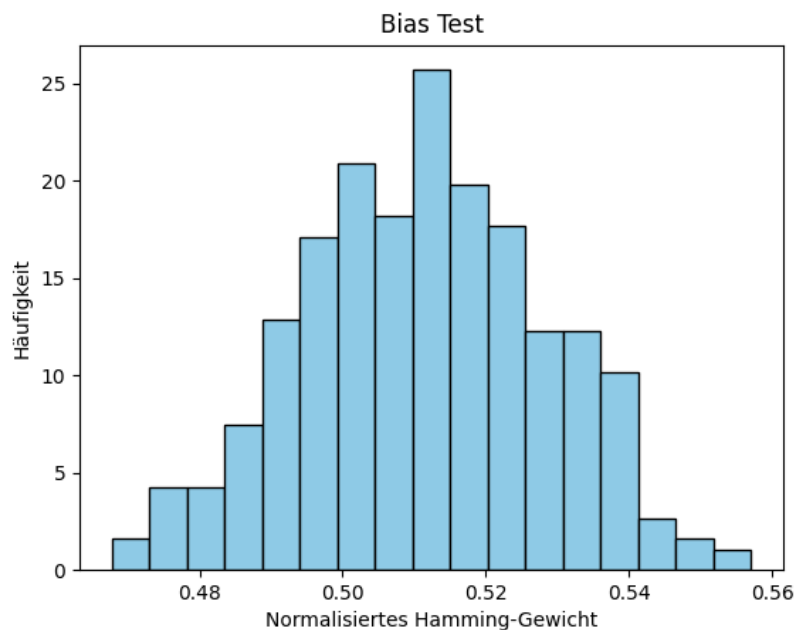


Abbildung 7.1: Histogramm des Intra-Chip Experiments des Hamming-Gewichts von 355 Testgeräten mit je 100 SRAM-Startmuster.

Das Ergebnis des durchgeführten Bias-Tests ist im Anhang A.1 angefügt. Dieses repräsentiert das Hamming-Gewicht der Startmuster von jeweils 355 Testgeräten, bei denen 100-mal ein LPM aktiviert wurde. In Abbildung 7.1 wird das Ergebnis für die Quantifizierung des Bias mit dem Hamming-Gewicht dargestellt. Die Abbildung zeigt eine

Verteilung des normalisierten Hamming-Gewichts um den Mittelwert von 50 % . Da das ideale Hamming-Gewicht einer Gaußschen Verteilung mit einem Mittelwert von 50 % entspricht, deuten die Testergebnisse darauf hin, dass die Startwerte nahezu unverzerrt sind.

7.4 Intra-Chip Test mit der Hamming-Distanz

Die Intra-Hamming-Distanz spiegelt die Stabilität wiederholter Messung einer PUF für ein einzelnes Gerät wieder, wenn diese durch eine feste Herausforderung abgefragt wird. Die Robustheit der Startwerte ist erforderlich, um ein bestimmtes Gerät zuverlässig zu identifizieren und anschließend den entsprechenden kryptografischen Schlüssel zu rekonstruieren. Die Intra-Hamming-Distanz ist eine normalisierte Anzahl von Bits, die sich zwischen aufeinanderfolgenden PUF-Messungen unterscheiden. Sie ist somit eine rationale Zahl zwischen Null und Eins [24].

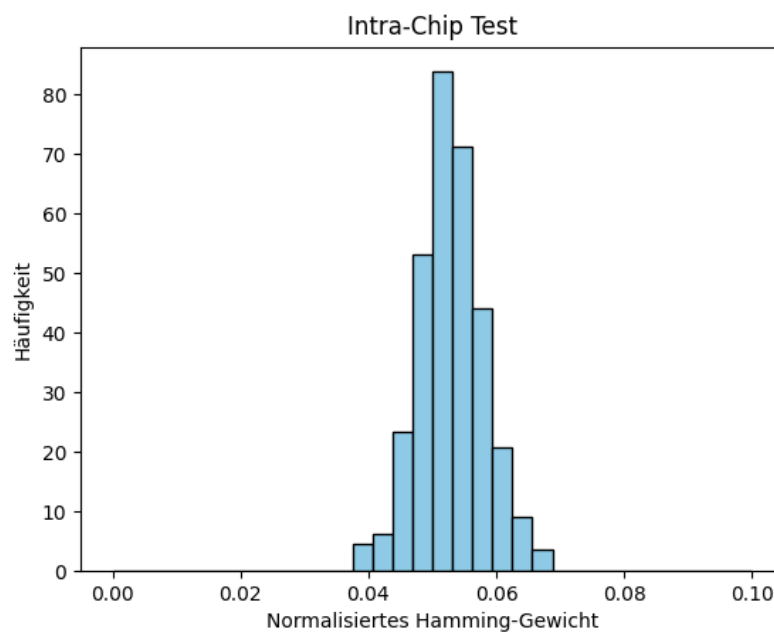


Abbildung 7.2: Histogramm des Intra-Chip Experiments des Hamming-Gewichts von 355 Testgeräten mit je 100 SRAM-Startmuster.

Ein optimaler Wert für die Intra-Hamming-Distanz liegt nahe bei null. Die meisten PUF-Messungen weisen jedoch ein gewisses Maß an Rauschen auf. Im Falle der SRAM-

basierten PUF ist dies auf die Zellen zurückzuführen, die eine eher symmetrische Anordnung der Transistoren aufweisen. Das Rauschen spiegelt sich im Umkippen der Startwerte über mehrere Versuche wieder [24]. Dies gibt Aufschluss über die Reproduzierbarkeit der PUF-Antworten [27].

Das Ergebnis des durchgeführten Intra-Chip Tests mit der Hamming-Distanz ist im Anhang A.2 angefügt. Dieses repräsentiert die Hamming-Distanz der Startmuster von jeweils 355 Testgeräten, bei denen 100-mal ein LPM aktiviert wurde. In Abbildung 7.2 wird das Ergebnis des Intra-Chip Tests dargestellt. Dieses zeigt, inwieweit sich die Startmuster durch das Rauschen der SRAM-Zellen bei aufeinanderfolgenden Messungen unterscheiden. Ein optimaler Wert für die Intra-Hamming-Distanz wird für nahe null angegeben. Bei dem durchgeführten Test liegen die Ergebnisse zwischen 0,038 % und 0,067 %.

7.5 Inter-Chip Test mit der Hamming-Distanz

Für den Inter-Chip Test wird geräteübergreifend die Einzigartigkeit geprüft, indem verglichen wird, wie viele PUF-Ausgangsbits sich zwischen einem PUF in einem Gerät *A* und einem PUF in einem Gerät *B* unterscheiden [27].

Wenn die PUF gleichmäßig verteilte unabhängige zufällige Bits produziert, sollte die Variation zwischen unterschiedlichen Chips durchschnittlich 50 % betragen [27]. Das heißt es soll ausgeschlossen werden, dass ein Angreifer in der Lage ist, eine Messung für ein zweites Gerät auf der Grundlage der Messungen des ersten Gerätes vorherzusagen [24].

Das Ergebnis des durchgeführten Inter-Chip Tests mit der Hamming-Distanz ist im Anhang A.3 angefügt. Dieses repräsentiert die Hamming-Distanz der Startmuster von jeweils 355 Testgeräten, bei denen 100-mal ein LPM aktiviert wurde. Dabei wurde die PUF-Messung von einem Testgerät *A* in Korrelation mit den PUF-Messungen der anderen Testgeräte gestellt. In Abbildung 7.3 wird das Ergebnis des Inter-Chip Test dargestellt. Bei dem Inter-Chip Test wurden Werte zwischen 44,1 % und 51,7 % gemessen. Dabei lag der Mittelwert bei 47,75 %.

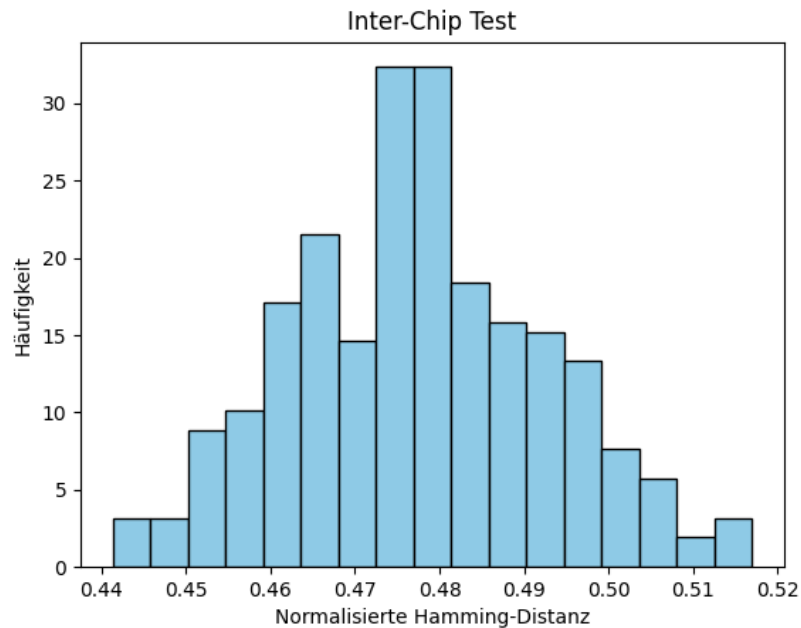


Abbildung 7.3: Histogramm des Inter-Chip Experiments der Hamming-Distanz mit 355 Testgeräten mit je 100 Startmustern

7.6 Inter-Chip Test mit erzeugten IDs von 194 Testgeräten

Im Anhang A.4 werden die Ergebnisse der Hamming-Distanz der erzeugten IDs von 194 Testgeräten aufgezeigt. Im Gegensatz zu den anderen drei Tests basiert dieser Test nicht auf den Startwerten des SRAMS. Dieser Test basiert auf den mit den Hilfsdaten generierten IDs. Durch die Aktivierung von LPM konnte evaluiert werden, dass Hilfsdaten auf dem Gerät selbst erstellt werden können. Erwartet wurde ein Ergebnis mit durchschnittlich 50 %.

Dieser Test hat gezeigt, dass die Generierung von IDs nach Erstellung von Hilfsdaten auf dem Gerät selbst funktioniert. Das Ergebnis verteilt sich um den Mittelwert von 49,7 % liegt, was nahe an dem erwarteten Ergebnis von 50 % liegt.

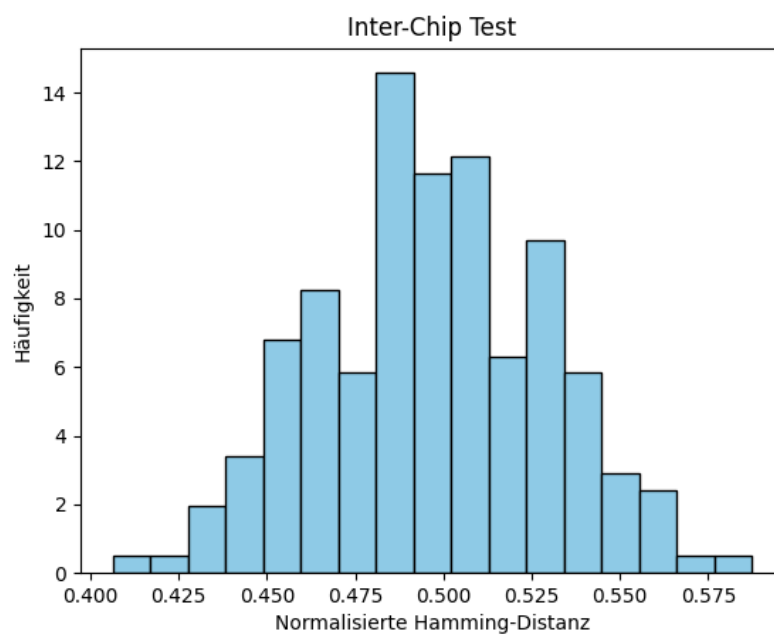


Abbildung 7.4: Histogramm des Inter-Chip Experiments der Hamming-Distanz mit 195 Testgeräten mit je 100 IDs

8 Zusammenfassung und Ausblick

8.1 Zusammenfassung

Das Ziel dieser Arbeit war die Evaluierung der Eignung von SRAM-basierten PUF mit aktivierten LPM in RIOT. Dabei sollte untersucht werden, ob die Aktivierung von LPM das Generieren von Hilfsdaten auf dem Gerät selbst ermöglicht. Die Evaluierung der durchgeführten Experimente haben die folgenden Ergebnisse erzielt.

Der Bias-Test hat gezeigt, dass mit aktiviertem LPM die SRAM-Startwerte nicht gegen Null oder Eins verzerrt sind. Der Intra-Chip Test hat mit einem Ergebnis nahe 0 % gezeigt, dass wiederholte Messungen desselben SRAM PUF mit aktiviertem LPM nur geringe Variationen aufweisen. Dies deutet auf die Zuverlässigkeit eines SRAM PUF mit LPM hin. Der erste Inter-Chip Test hat mit einem Ergebnis nahe der 50 % aufgezeigt, dass unter Verwendung von LPM die Korrelation zwischen verschiedenen Geräten gering ist. Dies deutet auf die Einzigartigkeit eines SRAM PUF mit LPM hin. Der zweite Inter-Chip Test hat ergeben, dass sich die Korrelation von erzeugten IDs zwischen unterschiedlichen Geräten um den Mittelwert von 50 % verteilt. Dies lässt darauf schließen, dass die Erzeugung von Hilfsdaten auf dem Gerät selbst funktioniert. Die Verteilung um den Mittelwert deutet auf die Einzigartigkeit der erzeugten IDs zwischen unterschiedlichen IoT-Geräten hin, was sich auch in den Ergebnissen der Evaluierungen für die SRAM-Startwerte widerspiegelt. Die Erzeugung von Hilfsdaten von SRAM PUF Startwerten ist von der Qualität der Eigenschaften Einzigartigkeit und Zuverlässigkeit abhängig.

Zusammengefasst lässt sich sagen, dass mit den durchgeführten Tests festgestellt werden konnte, dass SRAM basierte PUF unter Verwendung von LPM in RIOT ähnliche Qualitätsmerkmale aufweisen, wie bei der Verwendung ohne LPM.

8.2 Ausblick

Für den industriellen Einsatz von IoT-Geräten mit SRAM-Chips und einem zweiphasigen Fuzzy-Extraktor werden Hilfsdaten benötigt, die üblicherweise auf einem externen Server berechnet werden. Die Hilfsdaten müssen anschließend auf den persistenten Speicher des IoT-Gerätes übertragen werden. Durch das Erzeugen der Hilfsdaten auf dem Gerät selbst entfällt potenziell die Notwendigkeit eines zusätzlichen Hardware-Aufbaus, der als Schnittstelle zwischen IoT-Gerät und Server dient. Je nach Anwendungsfall, zum Beispiel im Kontext von vertrauenswürdigen Firmware-Updates, kann die praktische Anwendung von SRAM PUF mit LPM erprobt und es können weitere Anwendungsfälle spezifiziert werden.

Literaturverzeichnis

- [1] ADJIH, Cedric ; BACCELLI, Emmanuel ; FLEURY, Eric ; HARTER, Gaetan ; MITTON, Nathalie ; NOEL, Thomas ; PISSARD-GIBOLLET, Roger ; SAINT-MARCEL, Frederic ; SCHREINER, Guillaume ; VANDAELE, Julien ; WATTEYNE, Thomas: FIT IoT-LAB: A large scale open experimental IoT testbed. In: *2015 IEEE 2nd World Forum on Internet of Things (WF-IoT)*, IEEE, 2015, S. 459–464
- [2] BACCELLI, Emmanuel ; GÜNDOGAN, Cenk ; HAHM, Oliver ; KIETZMANN, Peter ; LENDERS, Martine ; PETERSEN, Hauke ; SCHLEISER, Kaspar ; SCHMIDT, Thomas C. ; WÄHLISCH, Matthias: RIOT: an Open Source Operating System for Low-end Embedded Devices in the IoT. In: *IEEE Internet of Things Journal* 5 (2018), December, Nr. 6, S. 4428–4440. – URL <http://dx.doi.org/10.1109/JIOT.2018.2815038>
- [3] CISCO: *Cisco Annual Internet Report (2018–2023)*. 09-03-2020. – URL <https://www.cisco.com/c/en/us/solutions/collateral/executive-perspectives/annual-internet-report/white-paper-c11-741490.html>. – Zugriffsdatum: 2022-09-06
- [4] DEVELOPER, ARM: *Cortex-M3 Technical Reference Manual*. 2010. – URL https://developer.arm.com/documentation/ddi0337/h?_ga=2.258143811.839925519.1629395464-2030874199.1629395464. – Zugriffsdatum: 2022-09-06
- [5] FIT IoT-LAB: *FIT IoT-LAB*. 2020. – URL <https://www.iot-lab.info/>. – Zugriffsdatum: 2022-09-13
- [6] FIT IoT-LAB: *IoT-LAB M3*. (o.D.). – URL <https://iot-lab.github.io/docs/boards/iot-lab-m3/>. – Zugriffsdatum: 2022-09-06
- [7] GASSEND, Blaise ; CLARKE, Dwaine ; DIJK, Marten van ; DEVADAS, Srinivas: Silicon Physical Random Functions. In: *Proceedings of the 9th ACM Conference*

- on Computer and Communications Security*. New York, NY, USA : Association for Computing Machinery, 2002 (CCS '02), S. 148–160. – URL <https://doi.org/10.1145/586110.586132>. – ISBN 1581136129
- [8] GNU OPERATING SYSTEM: *GNU Lesser General Public License, version 2.1*. Februar 1999. – URL <https://www.gnu.org/licenses/old-licenses/lgpl-2.1.en.html>. – Zugriffsdatum: 2022-09-06
- [9] GUAJARDO, Jorge ; KUMAR, Sandeep S. ; SCHRIJEN, Geert-Jan ; TUYLS, Pim: FPGA Intrinsic PUFs and Their Use for IP Protection. In: PAILLIER, Pascal (Hrsg.) ; VERBAUWHEDE, Ingrid (Hrsg.): *Cryptographic Hardware and Embedded Systems - CHES 2007*. Berlin, Heidelberg : Springer Berlin Heidelberg, 2007, S. 63–80. – ISBN 978-3-540-74735-2
- [10] HOFER, M. ; BÖHM, Ch. ; BOCK, H.: Identifikation, Authentifizierung und Schlüsselgenerierung mittels Physical Unclonable Functions – Übersicht und Anwendungsgebiete. In: *e & i Elektrotechnik und Informationstechnik* 127 (2010), Apr, Nr. 4, S. 72–77. – URL <https://doi.org/10.1007/s00502-010-0724-3>. – ISSN 1613-7620
- [11] HOLCOMB, D. E. ; BURLESON, W. P. ; FU, K.: Power-Up SRAM State as an Identifying Fingerprint and Source of True Random Numbers. In: *IEEE Transactions on Computers* 58 (2009), Nr. 9, S. 1198–1210
- [12] HÜNING, Felix: *Embedded Systems für IoT*. Berlin [Heidelberg] : Springer Vieweg, 2019. – ISBN 9783662579008
- [13] IoT-ANALYTICS: *State of the IoT 2020: 12 billion IoT connections, surpassing non-IoT for the first time*. 19-11-2020. – URL <https://iot-analytics.com/state-of-the-iot-2020-12-billion-iot-connections-surpassing-non-iot-for-the-first-time/>. – Zugriffsdatum: 2022-09-06
- [14] KATZENBEISSER, Stefan ; KOCABAŞ, Ünal ; ROŽIĆ, Vladimir ; SADEGHI, Ahmad-Reza ; VERBAUWHEDE, Ingrid ; WACHSMANN, Christian: PUFs: Myth, Fact or Busted? A Security Evaluation of Physically Unclonable Functions (PUFs) Cast in Silicon. In: PROUFF, Emmanuel (Hrsg.) ; SCHAUMONT, Patrick (Hrsg.): *Cryptographic Hardware and Embedded Systems - CHES 2012*. Berlin, Heidelberg : Springer Berlin Heidelberg, 2012, S. 283–301. – ISBN 978-3-642-33027-8

- [15] KIETZMANN, Peter ; GÜNDOĞAN, Cenk ; SCHMIDT, Thomas C. ; WÄHLISCH, Matthias: A PUF Seed Generator for RIOT: Introducing Crypto-Fundamentals to the Wild. In: *Proceedings of the 16th Annual International Conference on Mobile Systems, Applications, and Services*. New York, NY, USA : Association for Computing Machinery, 2018 (MobiSys '18), S. 513. – URL <https://doi.org/10.1145/3210240.3210805>. – ISBN 9781450357203
- [16] KIETZMANN, Peter ; SCHMIDT, Thomas C. ; WÄHLISCH, Matthias: A Guideline on Pseudorandom Number Generation (PRNG) in the IoT. In: *ACM Comput. Surv.* 54 (2021), jul, Nr. 6. – URL <https://doi.org/10.1145/3453159>. – ISSN 0360-0300
- [17] LEE, J.W. ; LIM, Daihyun ; GASSEND, B. ; SUH, G.E. ; DIJK, M. van ; DEVADAS, S.: A technique to build a secret key in integrated circuits for identification and authentication applications. In: *2004 Symposium on VLSI Circuits. Digest of Technical Papers (IEEE Cat. No.04CH37525)*, 2004, S. 176–179
- [18] LEEST, Vincent van der ; PRENEEL, Bart ; SLUIS, Erik van der: Soft Decision Error Correction for Compact Memory-Based PUFs Using a Single Enrollment. In: PROUFF, Emmanuel (Hrsg.) ; SCHAUMONT, Patrick (Hrsg.): *Cryptographic Hardware and Embedded Systems – CHES 2012*. Berlin, Heidelberg : Springer Berlin Heidelberg, 2012, S. 268–282. – ISBN 978-3-642-33027-8
- [19] PAPPU, Ravi ; RECHT, Ben ; TAYLOR, Jason ; GERSHENFELD, Neil A.: Physical One-Way Functions. In: *Science* 297 (2002), S. 2026 – 2030
- [20] PARISOT, Augusto ; BENTO, Lucila M. S. ; MACHADO, Raphael C. S.: Testing and selecting lightweight pseudo-random number generators for IoT devices. In: *2021 IEEE International Workshop on Metrology for Industry 4.0 & IoT (MetroInd4.0&IoT)*, IEEE, 2021, S. 715–720
- [21] PRADA-DELGADO, M. A. ; VÁZQUEZ-REYES, A. ; BATURONE, I.: Trustworthy firmware update for Internet-of-Thing Devices using physical unclonable functions. In: *2017 Global Internet of Things Summit (GIoTS)*, IEEE, 2017, S. 1–5
- [22] RAYES, Ammar ; SALAM, Samer: *Internet of Things From Hype to Reality - The Road to Digitization*. 2. Berlin, Heidelberg : Springer Cham, 2019. – ISBN 978-3-319-99516-8

- [23] RIOT-OS: *RIOT online course*. 09-03-2022. – URL <https://riot-os.github.io/riot-course/slides/03-riot-basics/#7>. – Zugriffsdatum: 2022-09-28
- [24] SCHALLER, André: *Lightweight Protocols and Applications for Memory-Based Intrinsic Physically Unclonable Functions on Commercial Off-The-Shelf Devices*. Darmstadt, Technische Universität, Dissertation, 2017. – URL <http://tuprints.ulb.tu-darmstadt.de/7014/>
- [25] SCHRIJEN, G. ; VAN DER LEEST, V.: Comparative analysis of SRAM memories used as PUF primitives. In: *2012 Design, Automation & Test in Europe Conference & Exhibition (DATE)*, IEEE, March 2012, S. 1319–1324. – ISSN 1558-1101
- [26] STMICROELECTRONICS: *High-density performance line Arm ®-based 32-bit MCU with 256 to 512KB Flash, USB, CAN, 11 timers, 3 ADCs, 13 communication interfaces*. Juli 2018. – URL <https://www.iot-lab.info/assets/misc/docs/iot-lab-m3/stm32f103re.pdf>. – Zugriffsdatum: 2022-09-06
- [27] SUH, G. E. ; DEVADAS, S.: Physical Unclonable Functions for Device Authentication and Secret Key Generation. In: *2007 44th ACM/IEEE Design Automation Conference*, IEEE, 2007, S. 9–14
- [28] VAN HERREWEGE, Anthony ; LEEST, Vincent van der ; SCHALLER, André ; KATZENBEISSER, Stefan ; VERBAUWHEDE, Ingrid: Secure PRNG Seeding on Commercial Off-the-Shelf Microcontrollers. In: *Proceedings of the 3rd International Workshop on Trustworthy Embedded Devices*. New York, NY, USA : Association for Computing Machinery, 2013 (TrustED '13), S. 55–64. – URL <https://doi.org/10.1145/2517300.2517306>. – ISBN 9781450324861
- [29] WOODHOUSE, David: *Memory Technology Device (MTD) Subsystem for Linux*. 25-07-2021. – URL <http://www.linux-mtd.infradead.org/index.html>. – Zugriffsdatum: 2022-09-24

A Anhang

A.1 Ergebnisse des Bias-Test mit erzeugten Startmustern von 355 Testgeräten

	Device No.	Hamming-Weight
1		
2		
3		
4	2	49.55 %
5	3	51.93 %
6	4	52.95 %
7	5	52.74 %
8	6	52.2 %
9	7	53.03 %
10	8	48.71 %
11	9	47.72 %
12	10	51.84 %
13	11	52.27 %
14	12	48.97 %
15	13	51.55 %
16	14	50.7 %
17	15	53.88 %
18	16	50.99 %
19	18	48.96 %
20	20	50.26 %
21	21	49.87 %
22	22	52.81 %
23	23	53.6 %
24	24	52.4 %
25	25	49.59 %
26	26	52.04 %
27	27	53.27 %
28	28	53.39 %
29	29	52.76 %
30	30	53.08 %

A Anhang

31		31		51.91 %	
32		32		49.32 %	
33		33		53.11 %	
34		34		48.99 %	
35		35		50.02 %	
36		36		54.2 %	
37		37		49.39 %	
38		38		49.69 %	
39		39		50.26 %	
40		40		50.14 %	
41		41		48.43 %	
42		42		53.3 %	
43		43		51.47 %	
44		44		55.27 %	
45		46		47.82 %	
46		47		51.26 %	
47		48		49.59 %	
48		49		54.62 %	
49		51		53.08 %	
50		52		50.11 %	
51		53		51.72 %	
52		54		51.65 %	
53		55		52.36 %	
54		56		50.33 %	
55		57		52.72 %	
56		58		50.19 %	
57		59		49.0 %	
58		60		49.66 %	
59		61		49.78 %	
60		62		50.27 %	
61		63		53.51 %	
62		64		50.79 %	
63		65		52.69 %	
64		66		49.48 %	
65		67		50.92 %	
66		68		49.75 %	
67		69		53.93 %	
68		70		49.22 %	
69		71		51.84 %	
70		72		52.53 %	
71		73		50.12 %	
72		74		52.77 %	
73		75		50.85 %	
74		76		49.46 %	

A Anhang

75		77		48.76	%	
76		78		50.94	%	
77		79		52.71	%	
78		80		51.4	%	
79		81		50.31	%	
80		82		53.5	%	
81		83		49.6	%	
82		84		48.6	%	
83		85		51.03	%	
84		86		53.43	%	
85		87		49.83	%	
86		88		52.05	%	
87		89		53.7	%	
88		90		50.23	%	
89		91		49.36	%	
90		92		52.06	%	
91		93		51.14	%	
92		94		48.88	%	
93		95		54.61	%	
94		96		48.96	%	
95		97		52.38	%	
96		98		51.73	%	
97		99		54.98	%	
98		100		49.04	%	
99		101		52.78	%	
100		103		50.85	%	
101		104		50.33	%	
102		105		52.27	%	
103		106		53.52	%	
104		107		51.11	%	
105		108		53.23	%	
106		109		49.03	%	
107		110		48.43	%	
108		112		51.28	%	
109		113		49.87	%	
110		114		52.62	%	
111		115		54.95	%	
112		116		50.86	%	
113		117		51.56	%	
114		118		54.15	%	
115		119		51.41	%	
116		120		53.37	%	
117		121		52.61	%	
118		122		48.43	%	

A Anhang

119		123		50.16	%	
120		124		54.12	%	
121		125		52.81	%	
122		126		51.23	%	
123		127		50.06	%	
124		128		48.94	%	
125		129		48.12	%	
126		130		51.02	%	
127		131		51.52	%	
128		133		50.22	%	
129		134		53.94	%	
130		135		53.26	%	
131		136		48.54	%	
132		137		50.68	%	
133		138		52.09	%	
134		139		52.02	%	
135		140		52.48	%	
136		141		49.63	%	
137		142		49.21	%	
138		143		50.27	%	
139		144		54.07	%	
140		145		52.25	%	
141		146		51.21	%	
142		147		51.63	%	
143		148		53.2	%	
144		149		53.76	%	
145		150		51.62	%	
146		151		46.88	%	
147		152		49.99	%	
148		153		51.79	%	
149		154		53.93	%	
150		156		51.61	%	
151		157		51.08	%	
152		159		50.36	%	
153		160		50.0	%	
154		161		51.95	%	
155		162		51.21	%	
156		163		49.27	%	
157		164		52.79	%	
158		166		50.97	%	
159		167		50.93	%	
160		168		51.74	%	
161		169		50.8	%	
162		170		49.59	%	

A Anhang

163		171		51.63	%	
164		172		51.0	%	
165		173		49.19	%	
166		174		50.47	%	
167		175		48.3	%	
168		176		53.49	%	
169		177		48.75	%	
170		178		51.04	%	
171		179		50.67	%	
172		180		48.36	%	
173		181		51.62	%	
174		182		52.52	%	
175		183		52.45	%	
176		184		49.55	%	
177		185		52.51	%	
178		186		52.12	%	
179		189		49.94	%	
180		190		52.7	%	
181		191		52.33	%	
182		192		49.14	%	
183		193		46.77	%	
184		195		50.55	%	
185		196		50.51	%	
186		197		49.46	%	
187		198		53.86	%	
188		199		51.32	%	
189		200		51.79	%	
190		201		53.59	%	
191		202		50.21	%	
192		203		49.33	%	
193		205		50.06	%	
194		207		51.11	%	
195		208		51.13	%	
196		209		47.82	%	
197		210		50.48	%	
198		211		51.36	%	
199		212		49.31	%	
200		213		49.55	%	
201		214		51.47	%	
202		215		52.21	%	
203		216		50.4	%	
204		217		48.53	%	
205		218		51.87	%	
206		219		50.31	%	

A Anhang

207		220		49.39 %	
208		221		51.74 %	
209		222		53.92 %	
210		223		47.62 %	
211		224		53.29 %	
212		225		53.15 %	
213		226		48.22 %	
214		227		50.2 %	
215		228		53.69 %	
216		229		54.06 %	
217		230		49.84 %	
218		231		52.18 %	
219		232		54.15 %	
220		233		51.73 %	
221		234		51.65 %	
222		235		51.23 %	
223		236		53.92 %	
224		237		51.03 %	
225		238		53.27 %	
226		239		51.05 %	
227		240		53.06 %	
228		241		50.75 %	
229		242		52.48 %	
230		244		49.67 %	
231		245		52.38 %	
232		246		51.4 %	
233		247		50.93 %	
234		248		51.7 %	
235		249		49.57 %	
236		250		53.44 %	
237		251		52.0 %	
238		252		47.62 %	
239		253		51.28 %	
240		254		53.87 %	
241		255		51.55 %	
242		257		53.12 %	
243		258		49.58 %	
244		259		50.47 %	
245		260		50.86 %	
246		263		50.26 %	
247		264		51.65 %	
248		265		52.99 %	
249		266		47.49 %	
250		267		49.76 %	

A Anhang

251		268		52.05	%	
252		269		48.83	%	
253		270		51.45	%	
254		271		49.17	%	
255		272		52.13	%	
256		273		51.09	%	
257		274		55.71	%	
258		275		52.03	%	
259		276		52.12	%	
260		277		51.38	%	
261		278		51.75	%	
262		279		51.46	%	
263		280		50.58	%	
264		281		48.13	%	
265		282		51.45	%	
266		283		48.11	%	
267		284		53.35	%	
268		285		52.99	%	
269		286		50.53	%	
270		287		52.74	%	
271		288		51.08	%	
272		289		52.83	%	
273		290		50.22	%	
274		292		53.01	%	
275		293		50.59	%	
276		294		47.79	%	
277		295		50.93	%	
278		296		52.1	%	
279		297		51.84	%	
280		298		51.43	%	
281		299		50.9	%	
282		300		50.79	%	
283		301		53.33	%	
284		302		53.82	%	
285		303		49.22	%	
286		304		51.09	%	
287		305		51.82	%	
288		306		50.39	%	
289		307		51.5	%	
290		308		53.62	%	
291		309		50.18	%	
292		310		51.11	%	
293		311		51.48	%	
294		312		51.38	%	

A Anhang

295		313		52.2	%	
296		314		50.21	%	
297		316		49.81	%	
298		317		50.44	%	
299		318		51.7	%	
300		319		51.33	%	
301		320		52.51	%	
302		321		49.61	%	
303		322		50.77	%	
304		323		51.22	%	
305		324		50.44	%	
306		325		50.16	%	
307		326		51.07	%	
308		327		49.16	%	
309		328		53.85	%	
310		329		51.81	%	
311		330		50.93	%	
312		332		49.41	%	
313		333		47.95	%	
314		334		51.22	%	
315		335		48.36	%	
316		336		51.4	%	
317		337		49.63	%	
318		338		51.3	%	
319		339		51.05	%	
320		340		52.01	%	
321		341		50.23	%	
322		342		49.02	%	
323		343		54.79	%	
324		344		49.86	%	
325		345		52.53	%	
326		346		53.69	%	
327		347		50.86	%	
328		348		52.16	%	
329		349		50.55	%	
330		350		51.31	%	
331		351		52.16	%	
332		353		47.89	%	
333		354		49.85	%	
334		355		50.27	%	
335		356		51.66	%	
336		357		50.86	%	
337		358		51.5	%	
338		359		48.26	%	

339		360		50.02 %	
340		361		49.77 %	
341		362		51.96 %	
342		363		53.98 %	
343		365		50.71 %	
344		366		48.36 %	
345		367		49.59 %	
346		368		50.1 %	
347		369		47.75 %	
348		370		50.34 %	
349		371		50.94 %	
350		372		53.52 %	
351		373		47.08 %	
352		374		52.36 %	
353		375		51.84 %	
354		376		50.97 %	
355		377		48.71 %	
356		378		51.22 %	
357		379		49.63 %	
358		380		50.35 %	
359		-----		-----	
360		AVG		51.14 %	
361		MIN		46.77 %	
362		MAX		55.71 %	
363		-----		-----	
364		Devices total		355	
365		+-----+		+-----+	

Listing A.1: Datensatz mit 355 Testgeräten, jeweils 100 erzeugte Startmuster und das dazu berechnete Hamming-Gewicht.

A.2 Ergebnisse des Intra-Chip Test mit erzeugten Startmustern von 355 Testgeräten

1		-----		-----	
2		Device No.		Hamming-Distance	
3		-----		-----	
4		2		4.48 %	
5		3		5.88 %	
6		4		5.73 %	
7		5		5.14 %	

A Anhang

8		6		4.34 %	
9		7		5.13 %	
10		8		4.76 %	
11		9		6.13 %	
12		10		5.62 %	
13		11		5.79 %	
14		12		5.45 %	
15		13		5.38 %	
16		14		4.77 %	
17		15		4.84 %	
18		16		5.45 %	
19		18		6.38 %	
20		20		4.84 %	
21		21		5.61 %	
22		22		5.27 %	
23		23		4.64 %	
24		24		5.85 %	
25		25		4.56 %	
26		26		4.95 %	
27		27		5.15 %	
28		28		4.57 %	
29		29		4.89 %	
30		30		4.85 %	
31		31		5.51 %	
32		32		4.6 %	
33		33		4.02 %	
34		34		5.42 %	
35		35		5.39 %	
36		36		6.0 %	
37		37		4.97 %	
38		38		5.18 %	
39		39		5.07 %	
40		40		5.22 %	
41		41		5.79 %	
42		42		5.03 %	
43		43		4.35 %	
44		44		5.09 %	
45		46		4.92 %	
46		47		6.66 %	
47		48		5.68 %	
48		49		4.42 %	
49		51		5.19 %	
50		52		5.44 %	
51		53		4.48 %	

A Anhang

52		54		4.86	%	
53		55		5.37	%	
54		56		5.48	%	
55		57		5.25	%	
56		58		5.46	%	
57		59		5.36	%	
58		60		4.59	%	
59		61		5.46	%	
60		62		5.32	%	
61		63		4.98	%	
62		64		5.89	%	
63		65		5.67	%	
64		66		5.87	%	
65		67		5.51	%	
66		68		5.18	%	
67		69		5.43	%	
68		70		5.06	%	
69		71		5.14	%	
70		72		6.14	%	
71		73		5.23	%	
72		74		5.75	%	
73		75		5.44	%	
74		76		5.68	%	
75		77		5.76	%	
76		78		5.58	%	
77		79		6.48	%	
78		80		5.43	%	
79		81		5.12	%	
80		82		4.93	%	
81		83		5.44	%	
82		84		5.19	%	
83		85		5.28	%	
84		86		5.39	%	
85		87		5.26	%	
86		88		5.54	%	
87		89		4.84	%	
88		90		4.83	%	
89		91		5.98	%	
90		92		5.18	%	
91		93		5.43	%	
92		94		4.31	%	
93		95		5.05	%	
94		96		5.42	%	
95		97		5.6	%	

A Anhang

96		98		5.67 ‰	
97		99		5.12 ‰	
98		100		5.03 ‰	
99		101		5.67 ‰	
100		103		5.31 ‰	
101		104		4.74 ‰	
102		105		5.13 ‰	
103		106		5.64 ‰	
104		107		5.63 ‰	
105		108		6.26 ‰	
106		109		4.91 ‰	
107		110		5.19 ‰	
108		112		5.04 ‰	
109		113		6.23 ‰	
110		114		5.34 ‰	
111		115		6.59 ‰	
112		116		6.39 ‰	
113		117		5.2 ‰	
114		118		4.65 ‰	
115		119		4.8 ‰	
116		120		5.42 ‰	
117		121		4.8 ‰	
118		122		6.04 ‰	
119		123		4.98 ‰	
120		124		5.02 ‰	
121		125		4.95 ‰	
122		126		5.28 ‰	
123		127		5.38 ‰	
124		128		5.26 ‰	
125		129		5.35 ‰	
126		130		5.58 ‰	
127		131		4.93 ‰	
128		133		5.92 ‰	
129		134		5.98 ‰	
130		135		5.13 ‰	
131		136		4.74 ‰	
132		137		5.24 ‰	
133		138		4.75 ‰	
134		139		5.37 ‰	
135		140		4.91 ‰	
136		141		4.98 ‰	
137		142		5.5 ‰	
138		143		5.17 ‰	
139		144		5.86 ‰	

A Anhang

140		145		5.22 ‰	
141		146		4.73 ‰	
142		147		4.52 ‰	
143		148		5.09 ‰	
144		149		4.62 ‰	
145		150		5.52 ‰	
146		151		4.66 ‰	
147		152		5.24 ‰	
148		153		5.15 ‰	
149		154		5.98 ‰	
150		156		5.07 ‰	
151		157		6.58 ‰	
152		159		5.27 ‰	
153		160		4.94 ‰	
154		161		6.63 ‰	
155		162		5.03 ‰	
156		163		4.81 ‰	
157		164		5.0 ‰	
158		166		6.19 ‰	
159		167		5.31 ‰	
160		168		5.16 ‰	
161		169		5.32 ‰	
162		170		4.88 ‰	
163		171		5.79 ‰	
164		172		6.03 ‰	
165		173		5.15 ‰	
166		174		4.68 ‰	
167		175		5.06 ‰	
168		176		4.76 ‰	
169		177		4.61 ‰	
170		178		4.32 ‰	
171		179		5.29 ‰	
172		180		5.11 ‰	
173		181		5.78 ‰	
174		182		5.5 ‰	
175		183		4.5 ‰	
176		184		5.36 ‰	
177		185		5.15 ‰	
178		186		4.79 ‰	
179		189		5.08 ‰	
180		190		6.48 ‰	
181		191		5.77 ‰	
182		192		5.03 ‰	
183		193		4.7 ‰	

A Anhang

184		195		4.55 %	
185		196		4.79 %	
186		197		5.5 %	
187		198		5.64 %	
188		199		4.81 %	
189		200		5.63 %	
190		201		5.12 %	
191		202		5.42 %	
192		203		6.49 %	
193		205		5.08 %	
194		207		5.22 %	
195		208		5.06 %	
196		209		5.54 %	
197		210		5.86 %	
198		211		4.98 %	
199		212		4.61 %	
200		213		5.74 %	
201		214		5.83 %	
202		215		5.27 %	
203		216		5.31 %	
204		217		4.45 %	
205		218		4.06 %	
206		219		5.31 %	
207		220		5.46 %	
208		221		4.46 %	
209		222		4.58 %	
210		223		5.21 %	
211		224		5.46 %	
212		225		5.8 %	
213		226		6.02 %	
214		227		5.8 %	
215		228		5.67 %	
216		229		5.57 %	
217		230		4.93 %	
218		231		4.91 %	
219		232		4.74 %	
220		233		5.32 %	
221		234		5.09 %	
222		235		5.99 %	
223		236		5.67 %	
224		237		5.46 %	
225		238		5.6 %	
226		239		4.88 %	
227		240		6.11 %	

A Anhang

228		241		4.53 ‰	
229		242		5.41 ‰	
230		244		6.0 ‰	
231		245		5.22 ‰	
232		246		4.5 ‰	
233		247		5.61 ‰	
234		248		5.57 ‰	
235		249		5.55 ‰	
236		250		5.13 ‰	
237		251		5.2 ‰	
238		252		5.93 ‰	
239		253		4.96 ‰	
240		254		5.62 ‰	
241		255		5.22 ‰	
242		257		5.09 ‰	
243		258		6.13 ‰	
244		259		4.33 ‰	
245		260		4.86 ‰	
246		263		4.89 ‰	
247		264		6.33 ‰	
248		265		4.86 ‰	
249		266		4.68 ‰	
250		267		5.48 ‰	
251		268		5.15 ‰	
252		269		5.39 ‰	
253		270		5.25 ‰	
254		271		5.45 ‰	
255		272		5.18 ‰	
256		273		5.04 ‰	
257		274		6.02 ‰	
258		275		5.2 ‰	
259		276		5.56 ‰	
260		277		5.11 ‰	
261		278		4.96 ‰	
262		279		6.5 ‰	
263		280		5.57 ‰	
264		281		4.88 ‰	
265		282		5.03 ‰	
266		283		5.93 ‰	
267		284		5.62 ‰	
268		285		6.16 ‰	
269		286		4.96 ‰	
270		287		5.38 ‰	
271		288		5.27 ‰	

A Anhang

272		289		4.75 ‰	
273		290		5.23 ‰	
274		292		6.0 ‰	
275		293		5.16 ‰	
276		294		5.03 ‰	
277		295		5.38 ‰	
278		296		5.66 ‰	
279		297		5.78 ‰	
280		298		5.01 ‰	
281		299		5.45 ‰	
282		300		5.58 ‰	
283		301		5.21 ‰	
284		302		5.3 ‰	
285		303		5.17 ‰	
286		304		5.45 ‰	
287		305		5.47 ‰	
288		306		5.85 ‰	
289		307		5.87 ‰	
290		308		4.39 ‰	
291		309		5.75 ‰	
292		310		5.86 ‰	
293		311		4.71 ‰	
294		312		4.75 ‰	
295		313		5.37 ‰	
296		314		6.14 ‰	
297		316		4.92 ‰	
298		317		5.42 ‰	
299		318		5.17 ‰	
300		319		5.25 ‰	
301		320		5.25 ‰	
302		321		5.98 ‰	
303		322		4.75 ‰	
304		323		5.45 ‰	
305		324		4.24 ‰	
306		325		5.68 ‰	
307		326		5.55 ‰	
308		327		5.74 ‰	
309		328		5.32 ‰	
310		329		5.66 ‰	
311		330		5.56 ‰	
312		332		5.27 ‰	
313		333		5.37 ‰	
314		334		5.23 ‰	
315		335		5.87 ‰	

A Anhang

316		336		4.04 %	
317		337		5.32 %	
318		338		5.52 %	
319		339		5.83 %	
320		340		4.03 %	
321		341		4.78 %	
322		342		5.99 %	
323		343		4.79 %	
324		344		5.12 %	
325		345		4.69 %	
326		346		5.73 %	
327		347		5.05 %	
328		348		4.94 %	
329		349		5.17 %	
330		350		5.16 %	
331		351		4.8 %	
332		353		6.14 %	
333		354		6.02 %	
334		355		5.09 %	
335		356		4.78 %	
336		357		4.32 %	
337		358		5.55 %	
338		359		5.61 %	
339		360		3.86 %	
340		361		6.32 %	
341		362		5.67 %	
342		363		5.3 %	
343		365		5.71 %	
344		366		4.95 %	
345		367		5.34 %	
346		368		4.58 %	
347		369		5.9 %	
348		370		5.4 %	
349		371		4.87 %	
350		372		5.4 %	
351		373		4.47 %	
352		374		5.74 %	
353		375		5.54 %	
354		376		5.31 %	
355		377		6.49 %	
356		378		5.82 %	
357		379		5.2 %	
358		380		5.32 %	
359		-----		-----	

A Anhang

360		AVG		5.29 %	
361		MIN		3.86 %	
362		MAX		6.66 %	
363		-----		-----	
364		Devices total		355	
365		-----		-----	

Listing A.2: Datensatz mit 355 Testgeräten, jeweils 100 erzeugte Startmuster und die dazu berechnete Hamming-Distanz.

A.3 Ergebnisse des Inter-Chip Test mit erzeugten Startmustern von 355 Testgeräten

1	+	-----	+	-----	+	-----	+
2		PUF-A No.		PUF-B No.		Hamming-Distance	
3	+	-----	+	-----	+	-----	+
4		2		3		47.35 %	
5		2		4		47.54 %	
6		2		5		47.92 %	
7		2		6		48.2 %	
8		2		7		46.21 %	
9		2		8		48.77 %	
10		2		9		48.2 %	
11		2		10		48.86 %	
12		2		11		47.54 %	
13		2		12		48.01 %	
14		2		13		49.91 %	
15		2		14		49.34 %	
16		2		15		48.86 %	
17		2		16		48.48 %	
18		2		18		47.92 %	
19		2		20		47.16 %	
20		2		21		46.78 %	
21		2		22		46.88 %	
22		2		23		50.38 %	
23		2		24		48.77 %	
24		2		25		47.82 %	
25		2		26		49.24 %	
26		2		27		50.47 %	
27		2		28		48.3 %	
28		2		29		49.43 %	

A Anhang

29		2		30		47.35	%	
30		2		31		48.77	%	
31		2		32		46.5	%	
32		2		33		49.62	%	
33		2		34		46.02	%	
34		2		35		48.39	%	
35		2		36		47.06	%	
36		2		37		46.12	%	
37		2		38		47.54	%	
38		2		39		46.21	%	
39		2		40		47.54	%	
40		2		41		46.21	%	
41		2		42		48.11	%	
42		2		43		46.4	%	
43		2		44		47.44	%	
44		2		46		47.73	%	
45		2		47		47.82	%	
46		2		48		45.17	%	
47		2		49		45.45	%	
48		2		51		49.05	%	
49		2		52		49.34	%	
50		2		53		47.06	%	
51		2		54		46.97	%	
52		2		55		45.36	%	
53		2		56		47.44	%	
54		2		57		47.73	%	
55		2		58		48.77	%	
56		2		59		46.69	%	
57		2		60		49.62	%	
58		2		61		48.86	%	
59		2		62		50.66	%	
60		2		63		48.2	%	
61		2		64		47.16	%	
62		2		65		46.12	%	
63		2		66		47.73	%	
64		2		67		47.16	%	
65		2		68		48.67	%	
66		2		69		45.74	%	
67		2		70		51.23	%	
68		2		71		50.28	%	
69		2		72		48.96	%	
70		2		73		51.04	%	
71		2		74		46.31	%	
72		2		75		44.79	%	

A Anhang

73		2		76		47.63	%	
74		2		77		49.34	%	
75		2		78		48.86	%	
76		2		79		47.82	%	
77		2		80		47.92	%	
78		2		81		48.48	%	
79		2		82		47.25	%	
80		2		83		48.86	%	
81		2		84		46.4	%	
82		2		85		47.92	%	
83		2		86		48.3	%	
84		2		87		47.25	%	
85		2		88		48.2	%	
86		2		89		47.25	%	
87		2		90		45.64	%	
88		2		91		48.01	%	
89		2		92		46.4	%	
90		2		93		49.15	%	
91		2		94		46.02	%	
92		2		95		46.31	%	
93		2		96		50.0	%	
94		2		97		46.78	%	
95		2		98		48.01	%	
96		2		99		47.35	%	
97		2		100		46.02	%	
98		2		101		48.77	%	
99		2		103		49.15	%	
100		2		104		44.79	%	
101		2		105		49.53	%	
102		2		106		47.25	%	
103		2		107		49.24	%	
104		2		108		48.39	%	
105		2		109		45.27	%	
106		2		110		46.5	%	
107		2		112		48.11	%	
108		2		113		46.59	%	
109		2		114		51.7	%	
110		2		115		45.27	%	
111		2		116		49.72	%	
112		2		117		50.0	%	
113		2		118		49.05	%	
114		2		119		45.45	%	
115		2		120		50.19	%	
116		2		121		48.11	%	

A Anhang

117		2		122		48.01	%	
118		2		123		49.91	%	
119		2		124		46.4	%	
120		2		125		48.2	%	
121		2		126		47.54	%	
122		2		127		47.25	%	
123		2		128		51.52	%	
124		2		129		48.39	%	
125		2		130		47.44	%	
126		2		131		45.74	%	
127		2		133		48.67	%	
128		2		134		49.62	%	
129		2		135		48.01	%	
130		2		136		49.15	%	
131		2		137		49.15	%	
132		2		138		49.15	%	
133		2		139		45.93	%	
134		2		140		49.62	%	
135		2		141		48.48	%	
136		2		142		48.01	%	
137		2		143		49.72	%	
138		2		144		47.73	%	
139		2		145		47.54	%	
140		2		146		46.21	%	
141		2		147		47.54	%	
142		2		148		44.98	%	
143		2		149		47.06	%	
144		2		150		50.57	%	
145		2		151		48.96	%	
146		2		152		48.11	%	
147		2		153		46.21	%	
148		2		154		48.3	%	
149		2		156		48.11	%	
150		2		157		46.78	%	
151		2		159		46.21	%	
152		2		160		45.27	%	
153		2		161		49.91	%	
154		2		162		47.06	%	
155		2		163		45.55	%	
156		2		164		48.11	%	
157		2		166		44.32	%	
158		2		167		48.96	%	
159		2		168		49.43	%	
160		2		169		45.08	%	

A Anhang

161		2		170		44.32	%	
162		2		171		45.55	%	
163		2		172		48.96	%	
164		2		173		47.44	%	
165		2		174		45.64	%	
166		2		175		45.36	%	
167		2		176		46.69	%	
168		2		177		47.25	%	
169		2		178		46.59	%	
170		2		179		47.25	%	
171		2		180		47.82	%	
172		2		181		50.57	%	
173		2		182		46.5	%	
174		2		183		47.35	%	
175		2		184		47.25	%	
176		2		185		46.88	%	
177		2		186		47.82	%	
178		2		189		48.11	%	
179		2		190		47.16	%	
180		2		191		48.39	%	
181		2		192		47.63	%	
182		2		193		47.92	%	
183		2		195		48.01	%	
184		2		196		44.41	%	
185		2		197		47.92	%	
186		2		198		48.77	%	
187		2		199		48.3	%	
188		2		200		45.74	%	
189		2		201		47.54	%	
190		2		202		46.12	%	
191		2		203		47.73	%	
192		2		205		45.74	%	
193		2		207		47.25	%	
194		2		208		49.34	%	
195		2		209		46.31	%	
196		2		210		46.69	%	
197		2		211		47.82	%	
198		2		212		44.79	%	
199		2		213		46.59	%	
200		2		214		46.97	%	
201		2		215		49.91	%	
202		2		216		48.58	%	
203		2		217		45.55	%	
204		2		218		46.59	%	

A Anhang

205		2		219		47.06	%	
206		2		220		50.28	%	
207		2		221		49.05	%	
208		2		222		50.66	%	
209		2		223		51.04	%	
210		2		224		46.78	%	
211		2		225		50.0	%	
212		2		226		46.5	%	
213		2		227		46.02	%	
214		2		228		44.13	%	
215		2		229		49.24	%	
216		2		230		46.97	%	
217		2		231		47.82	%	
218		2		232		48.01	%	
219		2		233		47.73	%	
220		2		234		48.96	%	
221		2		235		48.2	%	
222		2		236		48.2	%	
223		2		237		46.97	%	
224		2		238		46.4	%	
225		2		239		46.88	%	
226		2		240		46.78	%	
227		2		241		47.44	%	
228		2		242		45.83	%	
229		2		244		46.88	%	
230		2		245		48.39	%	
231		2		246		48.01	%	
232		2		247		48.67	%	
233		2		248		50.38	%	
234		2		249		50.28	%	
235		2		250		45.64	%	
236		2		251		45.93	%	
237		2		252		47.25	%	
238		2		253		47.73	%	
239		2		254		47.25	%	
240		2		255		45.36	%	
241		2		257		46.5	%	
242		2		258		45.93	%	
243		2		259		49.05	%	
244		2		260		50.19	%	
245		2		263		46.78	%	
246		2		264		47.63	%	
247		2		265		47.63	%	
248		2		266		46.69	%	

A Anhang

249		2		267		50.57	%	
250		2		268		47.73	%	
251		2		269		47.54	%	
252		2		270		48.01	%	
253		2		271		47.16	%	
254		2		272		50.19	%	
255		2		273		46.5	%	
256		2		274		48.96	%	
257		2		275		47.16	%	
258		2		276		50.66	%	
259		2		277		48.2	%	
260		2		278		49.62	%	
261		2		279		47.73	%	
262		2		280		47.54	%	
263		2		281		49.62	%	
264		2		282		47.25	%	
265		2		283		48.77	%	
266		2		284		48.86	%	
267		2		285		47.54	%	
268		2		286		47.54	%	
269		2		287		48.11	%	
270		2		288		46.12	%	
271		2		289		48.58	%	
272		2		290		49.53	%	
273		2		292		47.63	%	
274		2		293		48.39	%	
275		2		294		49.34	%	
276		2		295		48.48	%	
277		2		296		46.69	%	
278		2		297		47.44	%	
279		2		298		47.54	%	
280		2		299		48.3	%	
281		2		300		49.05	%	
282		2		301		47.54	%	
283		2		302		46.78	%	
284		2		303		49.72	%	
285		2		304		45.17	%	
286		2		305		47.35	%	
287		2		306		46.59	%	
288		2		307		44.89	%	
289		2		308		48.3	%	
290		2		309		46.88	%	
291		2		310		49.72	%	
292		2		311		48.39	%	

A Anhang

293		2		312		47.73	%	
294		2		313		47.25	%	
295		2		314		51.61	%	
296		2		316		46.78	%	
297		2		317		49.34	%	
298		2		318		49.62	%	
299		2		319		47.92	%	
300		2		320		47.92	%	
301		2		321		46.12	%	
302		2		322		45.83	%	
303		2		323		49.53	%	
304		2		324		47.63	%	
305		2		325		48.2	%	
306		2		326		46.21	%	
307		2		327		45.83	%	
308		2		328		47.44	%	
309		2		329		48.39	%	
310		2		330		48.86	%	
311		2		332		46.69	%	
312		2		333		49.43	%	
313		2		334		51.52	%	
314		2		335		48.86	%	
315		2		336		46.88	%	
316		2		337		47.92	%	
317		2		338		49.05	%	
318		2		339		47.44	%	
319		2		340		47.63	%	
320		2		341		46.31	%	
321		2		342		46.12	%	
322		2		343		45.17	%	
323		2		344		47.06	%	
324		2		345		48.11	%	
325		2		346		45.74	%	
326		2		347		47.54	%	
327		2		348		46.5	%	
328		2		349		47.54	%	
329		2		350		48.01	%	
330		2		351		45.64	%	
331		2		353		47.16	%	
332		2		354		48.86	%	
333		2		355		49.91	%	
334		2		356		47.82	%	
335		2		357		46.21	%	
336		2		358		48.01	%	

337		2		359		47.82 %	
338		2		360		46.78 %	
339		2		361		50.19 %	
340		2		362		49.81 %	
341		2		363		45.08 %	
342		2		365		45.27 %	
343		2		366		47.54 %	
344		2		367		47.92 %	
345		2		368		48.01 %	
346		2		369		50.19 %	
347		2		370		49.05 %	
348		2		371		44.51 %	
349		2		372		47.54 %	
350		2		373		46.4 %	
351		2		374		45.55 %	
352		2		375		46.21 %	
353		2		376		50.19 %	
354		2		377		46.31 %	
355		2		378		46.5 %	
356		2		379		49.53 %	
357		2		380		51.52 %	
358		-----		-----		-----	
359		-		AVG		47.75 %	
360		-		MIN		44.13 %	
361		-		MAX		51.7 %	
362		-----		-----		-----	
363		-		Devices total		355	
364		-----		-----		-----	

Listing A.3: Datensatz mit 355 Testgeräten, jeweils 100 erzeugte Startmuster und der Hamming-Distanz zwischen einem PUF-A und den anderen PUFs.

A.4 Ergebnisse des Inter-Chip Test mit erzeugten IDs von 194 Testgeräten

1		-----		-----		-----	
2		Device-A No.		Device-N No.		Hamming-Distance	
3		-----		-----		-----	
4		1		2		52.5 %	
5		1		3		44.38 %	
6		1		4		51.88 %	

A Anhang

7		1		11		48.75 %	
8		1		12		48.75 %	
9		1		13		49.38 %	
10		1		14		51.25 %	
11		1		15		50.0 %	
12		1		17		46.25 %	
13		1		18		44.38 %	
14		1		19		50.0 %	
15		1		20		43.12 %	
16		1		21		53.75 %	
17		1		22		52.5 %	
18		1		23		49.38 %	
19		1		24		52.5 %	
20		1		25		43.12 %	
21		1		26		45.0 %	
22		1		27		56.25 %	
23		1		28		51.25 %	
24		1		29		46.88 %	
25		1		30		47.5 %	
26		1		31		50.62 %	
27		1		32		44.38 %	
28		1		33		51.88 %	
29		1		34		48.12 %	
30		1		35		45.62 %	
31		1		36		48.75 %	
32		1		37		56.25 %	
33		1		38		45.62 %	
34		1		39		45.62 %	
35		1		40		48.75 %	
36		1		41		48.75 %	
37		1		42		48.75 %	
38		1		43		50.0 %	
39		1		44		48.75 %	
40		1		45		50.62 %	
41		1		46		49.38 %	
42		1		47		49.38 %	
43		1		48		51.25 %	
44		1		49		48.75 %	
45		1		50		51.25 %	
46		1		51		48.75 %	
47		1		100		52.5 %	
48		1		101		46.25 %	
49		1		102		48.75 %	
50		1		103		52.5 %	

A Anhang

51		1		104		51.88	%	
52		1		105		51.88	%	
53		1		106		43.12	%	
54		1		107		51.25	%	
55		1		108		50.0	%	
56		1		109		55.0	%	
57		1		110		46.88	%	
58		1		111		50.0	%	
59		1		112		50.0	%	
60		1		114		46.25	%	
61		1		115		46.88	%	
62		1		116		45.0	%	
63		1		117		48.75	%	
64		1		118		52.5	%	
65		1		120		46.25	%	
66		1		121		52.5	%	
67		1		122		50.0	%	
68		1		123		47.5	%	
69		1		124		47.5	%	
70		1		125		45.62	%	
71		1		126		50.0	%	
72		1		128		51.88	%	
73		1		129		43.12	%	
74		1		130		48.75	%	
75		1		131		46.25	%	
76		1		132		51.25	%	
77		1		134		46.25	%	
78		1		135		54.38	%	
79		1		136		55.0	%	
80		1		137		51.25	%	
81		1		138		51.88	%	
82		1		139		47.5	%	
83		1		140		50.62	%	
84		1		141		41.88	%	
85		1		142		51.25	%	
86		1		143		51.88	%	
87		1		144		46.25	%	
88		1		145		54.38	%	
89		1		146		53.12	%	
90		1		147		48.75	%	
91		1		148		51.25	%	
92		1		149		50.0	%	
93		1		150		48.75	%	
94		1		151		56.25	%	

A Anhang

95		1		152		50.62	%	
96		1		153		51.88	%	
97		1		154		49.38	%	
98		1		155		47.5	%	
99		1		156		55.0	%	
100		1		157		53.75	%	
101		1		158		51.88	%	
102		1		159		54.38	%	
103		1		160		44.38	%	
104		1		161		47.5	%	
105		1		162		48.75	%	
106		1		163		56.25	%	
107		1		164		48.75	%	
108		1		165		50.62	%	
109		1		166		46.88	%	
110		1		167		48.12	%	
111		1		168		50.0	%	
112		1		169		48.75	%	
113		1		170		53.12	%	
114		1		171		47.5	%	
115		1		172		48.12	%	
116		1		173		53.12	%	
117		1		174		52.5	%	
118		1		175		45.62	%	
119		1		176		50.0	%	
120		1		177		48.75	%	
121		1		178		46.88	%	
122		1		179		53.75	%	
123		1		180		55.0	%	
124		1		181		56.25	%	
125		1		182		48.75	%	
126		1		183		50.62	%	
127		1		184		51.25	%	
128		1		185		50.62	%	
129		1		186		45.0	%	
130		1		187		53.75	%	
131		1		188		46.88	%	
132		1		189		53.12	%	
133		1		190		46.25	%	
134		1		191		45.62	%	
135		1		192		50.0	%	
136		1		193		45.62	%	
137		1		194		53.12	%	
138		1		195		50.62	%	

A Anhang

139		1		196		51.88	%	
140		1		197		50.0	%	
141		1		198		45.0	%	
142		1		199		53.75	%	
143		1		200		50.62	%	
144		1		201		52.5	%	
145		1		202		51.88	%	
146		1		203		46.25	%	
147		1		204		45.0	%	
148		1		205		40.62	%	
149		1		206		51.25	%	
150		1		207		50.0	%	
151		1		208		58.75	%	
152		1		209		52.5	%	
153		1		210		44.38	%	
154		1		211		49.38	%	
155		1		212		49.38	%	
156		1		213		52.5	%	
157		1		214		45.62	%	
158		1		215		53.75	%	
159		1		216		51.25	%	
160		1		217		53.75	%	
161		1		218		54.38	%	
162		1		219		51.88	%	
163		1		220		47.5	%	
164		1		221		47.5	%	
165		1		222		48.75	%	
166		1		223		48.75	%	
167		1		224		50.62	%	
168		1		225		48.75	%	
169		1		226		53.12	%	
170		1		227		51.25	%	
171		1		229		47.5	%	
172		1		230		49.38	%	
173		1		231		48.12	%	
174		1		232		56.88	%	
175		1		233		48.75	%	
176		1		234		50.62	%	
177		1		235		50.0	%	
178		1		236		48.12	%	
179		1		237		49.38	%	
180		1		238		46.25	%	
181		1		240		44.38	%	
182		1		241		55.0	%	

A Anhang

183		1		242		47.5 %	
184		1		244		48.12 %	
185		1		245		44.38 %	
186		1		246		53.12 %	
187		1		247		45.0 %	
188		1		248		52.5 %	
189		1		249		51.88 %	
190		1		250		55.0 %	
191		1		251		51.25 %	
192		1		252		54.38 %	
193		1		253		46.25 %	
194		1		254		47.5 %	
195		1		255		48.75 %	
196		1		256		53.12 %	
197		-----		-----		-----	
198		-		AVG		49.7 %	
199		-		MIN		40.62 %	
200		-		MAX		58.75 %	
201		-----		-----		-----	
202		-		Devices total		194	
203		+-----+		+-----+		+-----+	

Listing A.4: Datensatz mit 194 Testgeräten, jeweils 100 erzeugte IDs und der Hamming-Distanz zwischen einem Testgerät A und den anderen Testgeräten.

Erklärung zur selbstständigen Bearbeitung

Hiermit versichere ich, dass ich die vorliegende Arbeit ohne fremde Hilfe selbständig verfasst und nur die angegebenen Hilfsmittel benutzt habe. Wörtlich oder dem Sinn nach aus anderen Werken entnommene Stellen sind unter Angabe der Quellen kenntlich gemacht.

Ort

Datum

Unterschrift im Original